# Estimación estadística de la precipitación máxima probable en San Luis Potosí

Daniel Francisco Campos Aranda

Universidad Autónoma de San Luis Potosí

Inicialmente se destaca la importancia de la precipitación máxima probable, PMP, como base de la estimación hidrológica de la creciente máxima probable, se describe su concepto y se citan sus métodos de estimación. En seguida se detalla la información pluviométrica utilizada en este trabajo. A continuación se mencionan las características fundamentales del método estadístico de David M. Hershfield para estimación de la PMP, así como del enfoque probabilístico o predicción asociada a un periodo de retorno de 10,000 años ( $P_{\pi}$ ). Se describe con detalle la técnica de los momentos L para la estimación de los parámetros de ajuste de las distribuciones Gumbel y General de Valores Extremos. Se aplican además, dentro del enfoque probabilístico, la distribución Log-Pearson tipo III y la transformación potencial de los datos. Posteriormente se analizan y contrastan los resultados, dentro del marco geográfico que establecen las regiones: altiplano, zona media y huasteca del estado de San Luis Potosí. Se presentan tres mapas para el estado: de precipitación diaria máxima observada, de  $P_{\pi}$  y de PMP. Por último, se formulan conclusiones respecto a la técnica de los momentos L, al contraste entre el mapa actual y el generado en este trabajo para la  $P_{\pi}$  y en relación al mapa de PMP propuesto.

Palabras clave: precipitación máxima probable, periodo de retorno, mapas de isoyetas, métodos estadísticos.

#### Introducción

La necesidad y el concepto del límite superior de la precipitación se origina a mediados de la década de los años treinta, cuando a partir del conocimiento meteorológico se intentó fijar el límite físico superior de la lluvia que puede ocurrir sobre una cuenca determinada, en un intervalo previamente especificado (Kirpich, 1969; Miller, 1972; WMO, 1973). Smith (1993) indica que sigue siendo válida la conclusión de Gilman (1964) sobre la existencia, tanto matemática como física, de un límite superior para la cantidad de lluvia. La precipitación asociada con tal límite superior se conoce como precipitación máxima probable, PMP.

Los diseños hidrológicos en los cuales interviene la PMP se basan en la decisión previa de brindar máxima protección sin importar el costo. Tal es el caso de los grandes embalses, en donde su falla constituye una catástrofe con pérdida de vidas humanas y daños materiales incalculables. Por otra parte, siempre será conveniente ubicar los servicios públicos esenciales y las carreteras importantes arriba del nivel máximo probable de inundación (Linsley *et al.*, 1977).

La creciente máxima probable, CMP, estimada a partir de la PMP (Paulhus & Gilman, 1953; OMM, 1974),

resulta casi siempre fuera de las posibilidades de control por medio de las estructuras convencionales y en caso de ocurrir, el área de inundación sería extensa y los daños cuantiosos, de manera que la adopción de la CMP en los diseños hidrológicos sirve para eliminar la posibilidad adicional de la falla del embalse, o la interrupción del abastecimiento de agua potable y de la circulación en una zona o región con problemas de inundación críticos (Linsley et al.,1977).

En el contexto operativo, y de revisión y seguridad de presas ya construidas, sobre todo si éstas han sido clasificadas como peligrosas por sus dimensiones o su ubicación arriba de núcleos de población o zonas industriales, la estimación de la CMP es requerida para revisar la altura de la cortina y de los diques del embalse, así como para establecer el plan de manejo del almacenamiento y de sus planicies de inundación aguas arriba, si existen, y de aguas abajo, el cual depende de sus descargas.

#### Métodos de Estimación de la PMP

Entre los procedimientos más comunes de estimación de la PMP, está la aplicación de un modelo determinístico de eventos, o bien de un método hidrológico, como la técnica del hidrograma unitario, ambos enfoques utilizan la PMP y requieren de una tormenta de diseño. La estimación de la PMP se puede realizar a través de los criterios siguientes, expuestos de mayor a menor confiabilidad y requerimientos de información:

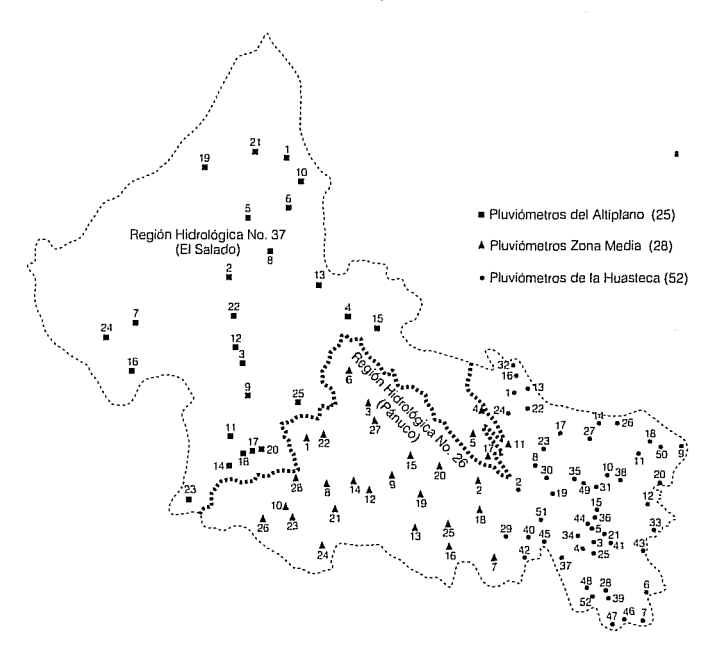
- 1) Modelos de tormentas
- 2) Transposición y maximización de tormentas
- 3) Método estadístico de D.M. Hershfield
- 4) Estimación probabilística
- 5) Métodos empíricos

En este trabajo se desarrolla la aplicación de los criterios 3 y 4 para estimar la PMP; el primero es un procedimiento de origen empírico, que conduce a resultados aproximados que no son función de quien lo aplica; el segundo se basa en utilizar varios modelos de función de distribución de probabilidades, por ejemplo la Gumbel, la General de Valores Extremos, GVE, y la Log-Pearson tipo III, para efectuar la estimación a un periodo de retorno de 10 mil años (Garros-Berthet, 1994; Cluckie & Pessoa, 1990). Dentro del enfoque probabilístico también se aplicó la transformación de los datos para buscar su normalización y posteriormente efectuar la estimación citada.

#### Uso de las precipitaciones diarias máximas

Actualmente se dispone en nuestro país de ochenta pluviógrafos y a futuro se contará con 690; por lo tanto,

#### 1. Localización de las estaciones pluviométricas utilizadas



su número es muy reducido en comparación con la disponibilidad de estaciones pluviométricas que es de 5,566 (Collado y Toledo,1992). Es por ello que los métodos estadístico y probabilístico que permiten la estimación de la PMP de duración 24 horas son los más convenientes. También debido a la escasez de pluviógrafos las tormentas de diseño pueden ser estimadas por procedimientos que se basan sólo en la PMP de 24 horas (Campos, 1987).

### Información de precipitaciones diarias máximas anuales

Información pluviométrica disponible

En San Luis Potosí la red de pluviómetros asciende a 191 estaciones, según archivos y datos de la Gerencia Estatal de la Comisión Nacional del Agua, CNA. De estos pluviómetros sólo 155 cuentan con más de diez años de registro (Martínez,1996) y únicamente 105 tienen un registro igual o mayor de veinte años, hasta 1993 o 1994; éstos son los pluviómetros que fueron utilizados en este trabajo, cuya localización se muestra en la ilustración 1. Sus coordenadas geográficas se pueden consultar en Martínez (1996).

#### Información pluviométrica utilizada

La información pluviométrica que fue utilizada en este trabajo corresponde a las lluvias diarias máximas anuales, denominadas por la CNA precipitaciones máximas en 24 horas en los boletines climatológicos (SARH, 1980, 1982) de las regiones hidrológicas Núm. 37 (El Salado) y Núm. 26 (Pánuco), que abarca el estado de San Luis Potosí: la primera corresponde al altiplano potosino y la segunda a las zonas media y huasteca o planicie costera.

#### Integración del archivo de datos

De los boletines climatológicos Núm. 3 (SARH,1980) y Núm. 5 (SARH,1982) se obtuvieron los registros de precipitación máxima en 24 horas hasta los años 1978 y 1979. De las 105 estaciones que cuentan con más de veinte años, mismos que fueron actualizados con base en los archivos de la CNA en San Luis Potosí y en Tampico, Tamaulipas, hasta 1993 y 1994.

Se elaboró un archivo en *Basic* (DAPMP) que comprende a las 105 series anuales de máximos, SAM, de lluvia *diaria*, por conveniencia separadas en las regiones: altiplano, zona media y huasteca (Campos, 1993b), debido principalmente a la facilidad para realizar comparaciones o contrastes numéricos, tanto de

sus valores característicos como de los resultados de la aplicación de los métodos o criterios de estimación de la PMP. Este archivo está disponible con el autor.

#### Método estadístico de David M. Hershfield

#### Introducción

Los conocimientos que actualmente se poseen sobre el mecanismo de las tormentas y su eficacia para producir precipitaciones, resultan insuficientes para poder evaluar con precisión los límites de los valores extremos de la precipitación. Por lo anterior, las estimaciones de la PMP deben ser consideradas aproximaciones, cuya precisión depende fundamentalmente de la cantidad y calidad de los datos disponibles para la aplicación de los dos primeros enfoques o criterios de estimación (WMO,1973).

El procedimiento estadístico desarrollado por David M. Hershfield a principios de los años sesenta para estimar la PMP, puede ser aplicado cuando se dispone de más de veinte años de información de datos de precipitación diaria, en cuencas no mayores de 1,000 km² (WMO,1973); es particularmente útil para hacer estimaciones rápidas y donde otros datos meteorológicos no existen o son muy escasos, como, por ejemplo, temperaturas de punto de rocío y registros de viento.

#### Bases conceptuales y soporte empírico

El procedimiento tal como fue desarrollado a principios de los años sesenta y posteriormente modificado (Hershfield,1962,1963 y 1965) se basa en la Fórmula General del Análisis de Frecuencia Hidrológico (Chow, 1964):

$$X(T_n) = X_n + Ks_n \tag{1}$$

en la cual X (T,) es la precipitación asociada a un determinado periodo de retorno (T,), en milímetros; x, y s, son respectivamente la media aritmética y la desviación estándar de la serie o registro de n máximos anuales, ambas también en milímetros, y K es una variable estadística adimensional función de la probabilidad o periodo de retorno y del modelo probabilístico ajustado a la serie anual de máximos (SAM).

Si la precipitación máxima observada  $X_m$  sustituye a X ( $T_r$ ), entonces  $K_m$  es el número de desviaciones estándar  $s_n$  que deben ser adicionadas a  $x_n$  para obtener  $X_m$ . Las SAM de más de 2,600 estaciones pluviométricas, con un total de 95,000 estaciones-año de datos, de las cuales alrededor del 90% estaban en los Estados Unidos de América, fueron utilizadas para deter-

minar el valor máximo de  $K_m$ . La precipitación máxima observada no fue incluida en el cálculo de  $x_n$  y  $s_n$ ; esto es equivalente a medir el evento máximo después que los valores de  $x_n$  y  $s_n$  han sido calculados y establecidos (Hershfield, 1965).

Los valores máximos calculados para  $K_m$  resultaron del orden de 15 y originalmente se pensó que eran independientes de la magnitud de la lluvia, pero posteriormente se encontró que variaba inversamente, ya que un valor de 15 es alto en regiones de fuerte lluvia y bajo en las zonas áridas (WMO,1973). Además, no se encontró una variación geográfica sistemática, sugiriendo en  $K_m$  ocurre en una forma aleatoria, pues aunque  $x_n$  y  $s_n$  cambien poco en estaciones cercanas, los valores máximos observados son muy diferentes (Hershfield,1965).

Al dibujar  $K_{\rm m}$  contra su correspondiente precipitación media anual se encontró que la curva envolvente tiene la tendencia a decrecer. Los cuatro valores de  $K_{\rm m}$  asociados con los valores máximos de precipitación en 24 horas proceden de la región de fuertes lluvias de Cherrapunji, India, mientras que el valor de  $K_{\rm m}$  asociado a una media de 406 mm corresponde a un récord mundial de 1,168.1 mm (Hershfield,1965).

#### Procedimiento de aplicación

El procedimiento del método de Hershfield (1962, 1963 y 1965) se puede consultar en WMO (1973) y Campos (1991a, 1992a, 1996); una síntesis de éste es la siguiente: a la serie anual de lluvias máximas diarias (SAM), en milímetros, se le suprime el evento máximo (designado por m), formándose dos series de *n* y *n-m* datos o eventos; a cada serie se les calcula su media y desviación estándar. Se corrigen la media y la desviación estándar de la SAM, por lluvia máxima observada y por longitud de registro con auxilio de las figuras respectivas. Estos últimos son los valores que se utilizan en la ecuación 1.

Se determina el valor del factor de frecuencia  $K_{\rm m}$  por medio de la figura correspondiente, con base en la media corregida. Se estima la precipitación máxima probable diaria, por medio de la ecuación 1. Este valor se corrige por intervalo fijo y único de observación, ya que los datos utilizados son lluvias diarias máximas medidas cada 24 horas (Weiss, 1964). Cuando se requiera una estimación de la PMP para duraciones diferentes a 24 horas, se puede distribuir ésta en el tiempo, con base en la curva envolvente de registros mundiales, cuya ecuación es (WMO, 1973; Campos, 1992a, 1996):

$$R = 421.6 \ D^{0.475} \tag{2}$$

estando *D* en horas y *R* en milímetros. El procedimiento consiste en localizar en la duración de 24 horas el valor estimado de PMP. Se traza una curva paralela a la mundial, recta en el papel logarítmico, por tal punto y se leen los valores buscados en la duración correspondiente. Por último, se realiza el ajuste o corrección de la PMP puntual, por magnitud de cuenca con base en la figura respectiva, de acuerdo a la duración analizada y la magnitud o área de la cuenca, en kilómetros cuadrados.

#### Programa de cómputo

En el programa desarrollado en *Basic* y denominado PMP se han sustituido las figuras que emplea el método de Hershfield, por polinomios de grado *N*, o bien por regresiones múltiples (Poole *et al.*,1983); tales expresiones se presentan en Campos (1991a,1996).

Resultados del método estadístico de David M. Hershfield

En el cuadro1 se han concentrado diversos valores característicos de las series anuales utilizadas, como son: periodos de registro, sus magnitudes mínima y máxima ( $P_{\text{MAX}}$ ), sus valores promedio y de desviación estándar, el factor de frecuencia calculado, los resultados del método estadístico para  $K_{\text{m}}=15$  y para el  $K_{\text{m}}$  estimado y, por último, la relación entre la PMP y la  $P_{\text{MÁX}}$ .

#### Análisis probabilístico

Prueba y ajuste de la Distribución Gumbel

Uno de los modelos de distribución más conocidos y utilizados en el mundo, para la predicción de valores extremos asociados a diversas probabilidades, es la función Fisher-Tippett tipo I, de Valores Extremos tipo I o simplemente de Gumbel,G, cuyos aspectos prácticos de aplicación han sido expuestos en la mayoría de los textos de hidrología superficial. La función Gumbel define una familia de líneas rectas en el papel de probabilidad extremo o de Gumbel-Powell, sus coeficientes de asimetría y curtosis son constantes e igual a 1.14 y 5.40, respectivamente. La fórmula de la función es (NERC, 1975; Kite, 1977):

$$F(x) = P(X < x) = \exp\{-\exp[-(x - u)/a]\}$$
 (3)

por ello se conoce también como doble exponencial, siendo u el parámetro de ubicación y a>0 el de escala. Definiendo la variable reducida y como:

$$y = (x - u)/a \tag{4}$$

se obtiene de la ecuación 3 que:

$$y = -Ln[-LnF(x)] = -Ln[-Ln(1-1/Tr)]$$
 (5)

en donde, T, es el periodo de retorno. Entonces el valor buscado asociado a un T, queda definido por la forma inversa de la distribución Gumbel:

$$X_{\mathsf{Tr}} = u + a(y) \tag{6}$$

Los métodos de estimación de los parámetros de ajuste de la distribución Gumbel más difundidos son los cinco siguientes:

- Momentos (NERC, 1975; Kite, 1977).
- Momentos de probabilidad pesada (Greis & Wood, 1981; Stedinger et al., 1993);
- Máxima entropía (Jowitt, 1979)
- Sextiles (Clarke, 1973)
- Máxima verosimilitud (Jenkinson, 1969; Clarke, 1973; Campos, 1991b, 1996).

Actualmente de dispone de test estadísticos para verificar la conveniencia de utilizar la distribución de valores extremos tipo I o de Gumbel, cuando las tipo II, Log-Gumbel o Fréchet y la tipo III o de Weibull son opciones viables, de acuerdo al comportamiento de los datos en el papel de probabilidad extrema (concavidad hacia arriba o hacia abajo, respectivamente). En este trabajo se aplicaron dos pruebas, la primera es propuesta por Van Montfort (1970) y la segunda por Otten & Van Monfort (1978).

El programa GUMBEL escrito en *Basic* (Campos, 1996) está integrado por tres partes, en la primera se realizan las pruebas estadísticas de Van Montfort (1970) y de Otten & Van Montfort (1978), para definir estadísticamente la aceptación de la distribución Gumbel a la muestra analizada, frente a los modelos Fréchet y Weibull. La segunda parte corresponde a los cálculos de los parámetros de ajuste por los métodos de momentos, mpp, sextiles y de máxima verosimilitud, así como al cálculo del error estándar de ajuste EEA definido como (Kite, 1977):

$$EEA = \{ [\Sigma (x_i - X)^2] / (n - np) \}^{1/2}$$
 (7)

en donde la sumatoria abarca de uno a *n* (número de datos), *np* el número de parámetros de ajuste. En este caso igual a 2, *x*, son los datos observados ordenados de menor a mayor y *X* son los valores estimados con la ecuación 6 para las mismas probabilidades de no ex-

cedencia asociadas a cada dato histórico, de acuerdo a la fórmula de Weibull (Benson, 1962):

$$P(X < X) = i/(n+1)$$
;  $i = 1,2,...,n$  (8)

Por último, en la tercera parte se realiza el cálculo del valor asociado a un periodo de retorno de 10 mil años, o probabilidad de no excedencia de 0.9999, a través de la aplicación de la ecuación 6 con cada pareja de parámetros de ajuste estimados con los cuatro métodos expuestos; en igual forma se pueden realizar cálculos para cualquier otro periodo de retorno.

En el cuadro 2 se han concentrado los resultados de la aplicación de los procedimientos anteriores, indicando únicamente el *menor* error estándar de ajuste obtenido y la predicción de 24 horas (estimación diaria multiplicada por 1.13) para el periodo de retorno de 10 mil años, o estimación probabilística de la precipitación máxima probable.

#### Ajuste de la distribución GVE

A. F. Jenkinson obtuvo en 1955 la ecuación general de la denominada Distribución General de Valores Extremos, GVE, cuya expresión es (Jenkinson, 1969):

$$X = u + a [1 - \exp(-ky)]/k = u + (a/k) yr$$
 (9)

siendo, X la variable que se analiza probabilísticamente, u el parámetro de ubicación, con idénticas unidades que X, a el parámetro de escala, k el de forma, y la variable reducida de Gumbel, función de la probabilidad de no excedencia F(x), con la expresión dada en la ecuación 5, yr es otra variable reducida más práctica definida como:

$$yr = 1 - [-Ln(1-1/Tr)]^k$$
 (10)

en la cual Tr es el periodo de retorno en años. De acuerdo al signo de k, el cual fluctúa en la práctica de -0.6 a +0.6 (NERC,1975), se definen los tres tipos de distribuciones en el papel de probabilidad extrema o de Gumbel-Powell:

k > 0 (positivo): Fisher-Tippett tipo III, de Weibull ó VE3. Familia de curvas con concavidad hacia abajo y frontera superior en X = u + a / k.

k = 0 Fisher-Tippett tipo I, de Gumbel o VE1. Familia de líneas rectas, con expresión: X = u + ay.

k < 0 (negativo): Fisher-Tippett tipo II, de Fréchet, log-Gumbel o VE2. Familia de curvas con concavidad hacia arriba y frontera inferior en X = u - a / k.

Durante el proceso de cálculo de los parámetros (*u*, *a*, *k*) de la distribución GVE, se define automáticamente el tipo de modelo probabilístico mediante el valor de *k*. Para la estimación de los parámetros de ajuste se dispone de cuatro métodos: momentos, sextiles, mpp y máxima verosimilitud. Estos procedimientos se pueden consultar en Jenkinson (1969), Clarke (1973), NERC (1975), Kite (1977), Greis & Wood (1981) y Raynal (1984), han sido descritos y aplicados en México en el análisis de frecuencia de gastos máximos anuales por Acosta (1986) y Martínez y Raynal (1988). Campos (1991b,1996) ha expuesto programas de cómputo para la aplicación de la distribución GVE.

El programa GVE (Campos, 1996) aplica cuatro métodos de estimación de los parámetros de ajuste, emplea la ecuación 9 para un periodo de retorno de 10 mil años y reporta el error estándar de ajuste (EEA) estimado con la ecuación 7 utilizando np = 3.

Cuando las pruebas de van Montfort y de Otten & van Montfort desarrolladas en el programa GUMBEL, según mecánica operativa de Sevruk & Geiger (1981), indicaron la conveniencia de utilizar la distribución GVE, ésta se aplicó y sus resultados están concentrados en el cuadro 2 en forma similar a los de la distribución Gumbel.

Ajuste de las Distribuciones Gumbel y GVE por medio de los Momentos L

Recientemente se ha propuesto una nueva técnica de estimación de los parámetros de ajuste de diversas distribuciones de probabilidad, entre ellas la Gumbel, G, y la GVE. Este nuevo procedimiento, conocido como los momentos L, MOL, fue propuesto por J.R.M. Hosking en 1990 y es semejante al de momentos convencionales, ya que son esperanzas matemáticas de ciertas combinaciones lineales de las estadísticas de orden. Por lo tanto, los estimadores muestrales de los MOL son combinaciones lineales; de ahí el nombre de las observaciones ordenadas o clasificadas por magnitud y por ello están sujetas a menor sesgo que los momentos producto.

Los MOL tienen ventajas teóricas sobre los momentos tradicionales, entre ellas estar virtualmente libres de sesgo aun en muestras cortas y ser mucho más robustos a la presencia de valores dispersos (outliers) en los datos. Por otra parte, el uso de los momentos producto de los logaritmos de los datos pueden sobreestimar la importancia de los valores pequeños. Por lo anterior, se ha concluido que los MOL proporcionan estimadores simples y eficientes de las características de los datos hidrológicos y de los parámetros de sus

distribuciones (Stedinger et al.,1993; Vogel & Fennessey,1993; Harper et al.,1994).

En el apéndice 1 se resume la teoría de los MOL, se describe con detalle su cálculo y la estimación de los parámetros de ajuste de las distribuciones Gumbel y GVE, a través de esta nueva técnica, incluyendo un sencillo test para detectar cuál de las dos distribuciones es la más conveniente, desde el punto de vista estadístico de los datos. En el Cuadro 2 se han concentrado los resultados de la aplicación de las distribuciones Gumbel o GVE a través del método de los MOL, según programa GVEL (Campos, 1996).

#### Ajuste de la Distribución Log-Pearson tipo III

La distribución Log-Pearson tipo III (LP3) ha sido ampliamente utilizada en hidrología, en especial en el análisis de frecuencia de crecientes (Benson,1968; WRC,1977; Kite, 1977), siendo una distribución de 3 parámetros de ajuste cuya variable corresponde al logaritmo de los datos, es un modelo muy versátil. La función de densidad de probabilidad f(y) Pearson tipo III (P3) tiene la siguiente expresión (Bobée,1975):

$$F(y) = \{1/[\alpha\Gamma(\beta)]\}[(1/\alpha)(y-\xi)]^{\beta-1} \exp[-(1 \alpha)(y-\xi)]$$
 (11)

donde  $\alpha$ ,  $\beta$ ,  $\xi$  son los parámetros de escala, forma y ubicación ( $\beta$  siempre es positivo). Se deben considerar los dos casos siguientes: si  $\alpha > 0$ , entonces la distribución tiene sesgo positivo, y entonces  $\xi = y < +$  00; si  $\alpha < 0$ , la distribución está sesgada negativamente y - 00  $< y = \xi$ . Cuando el parámetro de ubicación  $\xi = 0$  se obtiene la distribución Gamma (Campos,1988). La variable x tiene una distribución LP3 si  $y = \log x$  sigue una distribución P3. Cuando  $\alpha < 0$  la distribución LP3 presenta un límite superior en  $10^{\xi}$  (Bobée,1975).

Los dos métodos de estimación de los parámetros de ajuste que se utilizaron corresponden al de momentos en el dominio logarítmico. Este procedimiento corresponde a aplicar una distribución P3 a los logaritmos de los datos (Kite, 1977) y método de momentos en el dominio real (Bobée, 1975). El cálculo del error estándar de ajuste (EEA) se realiza con base en la ecuación 7 y considerando np = 3.

En el programa LP3 escrito en *Basic* (Campos, 1996) se calculan los parámetros de ajuste con el método indirecto de momentos (dominio logarítmico), evaluando su correspondiente EEA; en seguida se desarrolla lo anterior, pero con el método directo de momentos (dominio o campo real), calculando su respectivo EEA y finalmente se calculan e imprimen los valores de la variable X asociados al periodo de retorno de

10 mil años. Nuevamente, en el cuadro 2 se tienen los resultados correspondientes a la aplicación de la distribución Log-Pearson tipo III, siendo X la estimación probabilística de la precipitación máxima probable.

#### Uso de la transformación potencial

Los datos provenientes de diversas situaciones conforman su propia función de densidad de probabilidad; entonces, en lugar de adoptar y ajustar una distribución conocida a los datos, quizás sea mejor modificarlos o reconstruirlos por medio de una determinada transformación, de tal manera que la muestra o registro transformado siga una distribución particular.

Chander et al. (1978) sugieren utilizar la familia de transformaciones propuesta por G. E. P. Box y D. R. Cox en 1964 para obtener la normalidad de los datos, caracterizada únicamente por un coeficiente de asimetría, Cs, cercano a cero. Ésta es:

$$Z_i = (x_i^{\lambda} - 1)/\lambda$$
 en la cual  $\lambda \neq 0$  (12)

$$z_i = \log x_i$$
 en la cual  $\lambda = 0$  (13)

siendo,  $x_i$  los datos de la muestra,  $z_i$  los datos transformados y  $\lambda$  una constante. Las ecuaciones 12 y 13 constituyen una transformación potencial general, en la cual las transformaciones logarítmica, recíproca y de raíz cuadrada son casos especiales.

La determinación de la constante  $\lambda$  no es explícita, pero se puede estimar asignándole diversos valores y seleccionado el que conduzca al Cs de la serie  $z_i$  más cercano a cero, o bien, aplicando una técnica numérica de búsqueda de raíces. El valor de  $\lambda$  varía de -1.0 a 1.0 y además un incremento o decremento origina el mismo efecto en el Cs. Este comportamiento es muy útil en su estimación por tanteos (Chander *et al.*,1978).

Para estimar un evento máximo asociado a un periodo de retorno x(Tr), primero se estima el respectivo evento máximo transformado z(Tr):

$$z(Tr) = zm + K zs (14)$$

en donde zm y zs son la media aritmética y la desviación estándar de los datos transformados z, y K es la desviación normal estándar correspondiente al periodo de retorno Tr. Para el caso del Tr = 10 000 años, K = 3.71902 (Abramowitz & Stegun,1972, pp. 977). El evento máximo buscado será igual a:

$$X(Tr) = [\lambda z(Tr) + 1]^{1/\lambda}$$
(15)

La ecuación anterior permite realizar el cálculo del error estándar de ajuste, EEA, definido por la ecuación 7, al utilizar un algoritmo computacional para estimar el valor de *K* correspondiente a cualquier probabilidad de no excedencia (Abramowitz & Stegun, 1972).

El programa TRANPOT desarrollado en *Basic* (Campos, 1996) busca por tanteos el valor óptimo del parámetro  $\lambda$ , el cual corresponde al que minimiza el Cs de la serie transformada ( $z_i$ ), dando incrementos de 0.005 desde -1.255 hasta 1.255. Para tal valor de  $\lambda$  se calculan los parámetros estadísticos. Evalúa el EEA estimando el valor de X con las ecuaciones 14 y 15; por último, realiza la estimación de la variable X asociada a un periodo de retorno de 10 mil años o estimación probabilística de la PMP. En el cuadro 2 se han concentrado los resultados de la aplicación de este enfoque estadístico.

#### Contraste de resultados

Análisis de homogeneidad o consistencia de la información pluviométrica utilizada

En el apéndice 2 se cita brevemente el planteamiento adoptado para el análisis de homogeneidad de este tipo de información pluviométrica (SAM), se describen las pruebas seleccionadas, se concentran los resultados en el cuadro 3 y se formulan las conclusiones generadas por tal análisis, las cuales en resumen establecen que las inconsistencias detectadas (persistencia y/o tendencia), al parecer, no afectan los resultados obtenidos con las series encontradas no homogéneas.

Estimación de la Precipitación Máxima en 24 horas y periodo de retorno 10 mil años

Como ya se ha indicado, en el cuadro 2 se han concentrado los resultados de las distribuciones G, GVE y LP3, relativos a la precipitación máxima en 24 horas y periodo de retorno 10 mil años ( $P_{\pi}$ ), la cual corresponde a los valores de precipitación diaria de tal intervalo de recurrencia multiplicados por 1.13 (Weiss,1964).

Los resultados obtenidos con el método de la transformación potencial, cuyo enfoque es de inicio diferente a los métodos paramétricos del análisis de frecuencia, aporta resultados que corroboran las estimaciones numéricas de los ajustes, tanto en la precipitación máxima en 24 horas y periodo de retorno 10 mil años, como en el valor del error estándar de ajuste calculado, según se observa en el cuadro 2.

Respecto al criterio utilizado para adoptar los valores de  $P_{\rm Tr}$  del cuadro 2, éste se basó en el menor error

estándar de ajuste teniendo cierta preferencia por adoptar los resultados del método de los MOL (Harper et al., 1994), cuando el EEA resultó muy similar y, por último, tomando en cuenta los valores previamente adoptados en la zona donde está la estación pluviométrica analizada.

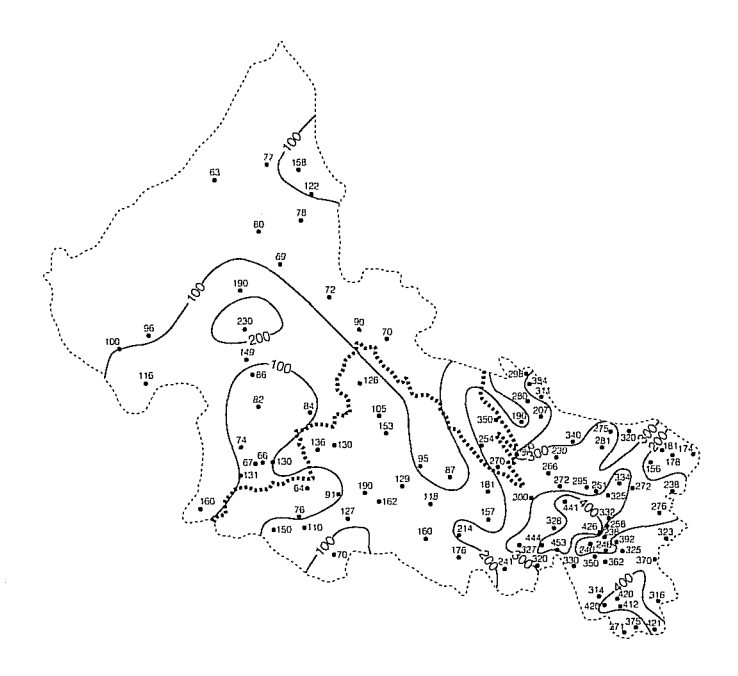
Estadísticos regionales de la precipitación máxima probable

El haber adoptado en este estudio la regionalización demostrada previamente para San Luis Potosí (Campos, 1993b), la cual establece claramente las diferencias climáticas entre las zonas altiplano, porción superior de la planicie costera o zona media y zona huasteca o planicie costera propiamente, constituyó una ventaja para los análisis, contrastes y la formalización de las conclusiones.

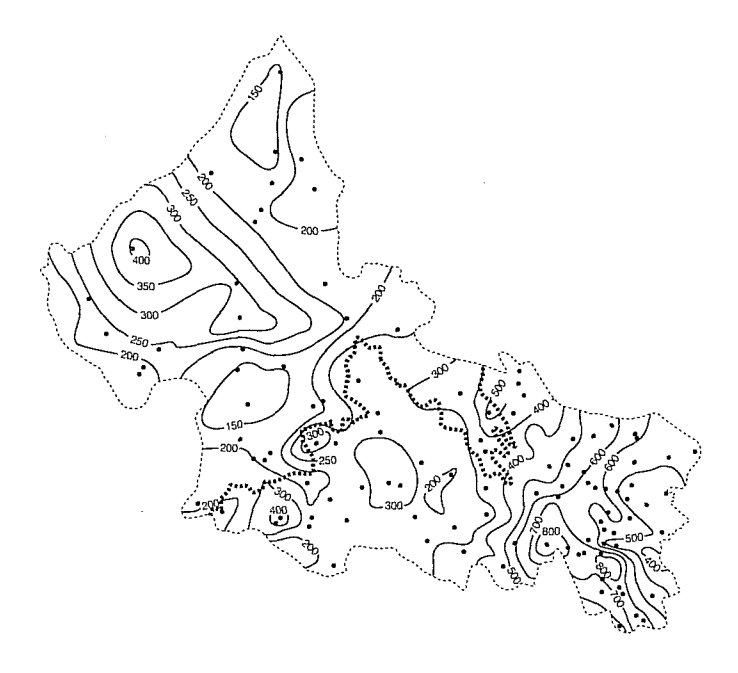
Los estadísticos calculados para cada región son claramente diferentes, como se observa en el cuadro 1. Así por ejemplo, los valores máximos observados de precipitación diaria son: 230.0, 350.0 y 452.8 mm; presentando medias de 105.6, 157.7 y 311.0 mm. Con respecto a la media de las series, el valor promedio de éstas en cada zona o región resultó ser: 45.0, 59.1 y 135.3 milímetros.

Respecto a la PMP estimada con el método de Hershfield, sus valores medios en cada región son: 437.0, 609.1 y 1095.3 mm, con desviaciones estándar cada vez más grandes 101.5, 157.2 y 259.7 mm, res-

#### 2. Precipitación diaria máxima observada (mm): P<sub>máx</sub>



#### Precipitación de duración 24 horas y periodos de retorno 10,000 años (mm) (SRH, 1976)



pectivamente. Las estimaciones máximas de PMP corresponden a: 671.9, 939.0 y 1,895.8 mm, esta última es muy cercana al valor máximo mundial observado de lluvia en 24 horas, que es de 1,908 mm, según ecuación 2 y se obtuvo en la estación Tansabaca, a la cual también corresponde la precipitación diaria máxima observada.

Estadísticos regionales de la precipitación máxima en 24 horas y periodo de retorno de 10 mil años (P<sub>T</sub>.)

Estos estadísticos también destacan las diferencias entre las tres regiones y en comparación con los de PMP son menores en su valor medio, pero no así en las magnitudes máximas calculadas y en las desviaciones estándar. Lo anterior se puede corroborar de sus respectivos valores concentrados en el cuadro 2. La comparación entre estas estimaciones y la PMP del método de Hershfield, indica a través del coeficiente de variación (Cv) mucha mayor dispersión en la  $P_{\rm Tr}$ , ya que el Cv de la PMP es del orden de 0.25, en cambio los correspondientes de la  $P_{\rm Tr}$  son 0.90, 0.60 y 0.33 en cada región.

#### Relaciones PMP/P<sub>MAX</sub> y PMP/P<sub>Tr</sub>

En la última columna del cuadro 1 se tiene la relación o cociente entre la precipitación máxima probable en 24 horas y la precipitación *diaria* máxima observada ( $P_{\text{MAX}}$ ), quinta columna del cuadro 1. Los estadísticos de estos cocientes permitirán realizar estimaciones rápidas de la PMP, con sólo disponer del dato de la  $P_{\text{MAX}}$ , de manera que en cada región (altiplano, zona media y huasteca) este último valor se multiplicará por 4.442, 4.212 ó 3.586 para obtener la PMP. Los cocientes entre la PMP y la  $P_{\text{Tr}}$  son lógicamente más bajos y con menor dispersión, los valores medios en cada región son: 1.761, 1.583 y 1.389, respectivamente.

Mapas de P<sub>MAX</sub>, P<sub>Tr</sub> y de PMP para el estado de San Luis Potosí

El mapa de  $P_{\rm MAX}$  presentado en la ilustración 2, se generó con la idea de permitir estimaciones de tal magnitud, en sitios sin estaciones pluviométricas, o bien de comprobar su magnitud cuando procede de una serie de pocos datos.

En 1976 la entonces Secretaría de Recursos Hidráulicos publicó el *Boletín de tormentas máximas observadas y probables en 24 horas (hasta 1974),* del cual se ha copiado para San Luis Potosí la ilustración 3 (SRH,1976), que corresponde a la  $P_{\rm T}$ . En tal figura se observa que tal mapa se basó también en un total de 105 pluviómetros, con 31 en la región altiplano, 28 en la zona media y 46 en la huasteca.

#### Precipitación de duración 24 horas y periodo de retorno 10 000 años (mm): P<sub>T</sub>



#### Precipitación máxima probable (mm) según método de David M. Hershfield: PMP



De la ilustración 3 se observa que para la región huasteca la magnitud máxima de  $P_{\rm Tr}$  corresponde a la zona de las estaciones Tansabaca y Tanlacut con 800 mm y que los valores fluctúan desde los 500 mm. En la zona media la  $P_{\rm Tr}$  varía de los 200 a los 500 mm, con un máximo en la zona de Villa de Reyes de 400 mm y de 400 a 500 mm en la frontera con plena zona huasteca. Finalmente en el altiplano la  $P_{\rm Tr}$  oscila de los 150 a los 400 mm, con el máximo en la zona de la estación Santo Domingo.

Con base en los datos de  $P_{\text{Tr}}$  del cuadro 2 se ha construido un nuevo mapa, mismo que se tiene en la ilustración 4. Por otra parte, con base en los valores de PMP del cuadro 1 se ha elaborado un nuevo mapa de tal estimación, el cual se muestra en la ilustración 5.

#### **Conclusiones**

En este trabajo se ha expuesto, aplicado y contrastado (ver cuadro 2) la técnica de estimación de los parámetros de ajuste de las distribuciones Gumbel y GVE,
con base en los momentos L, descrito en detalle operativo en el apéndice 1. Se concluye que el método
además de sencillo es consistente y que conduce a resultados tan exactos como los obtenidos con algoritmos más complejos, como por ejemplo, momentos de
probabilidad pesada y máxima verosimilitud, los cuales algunas veces no convergen. Lo anterior fue medido y observado a través del error estándar de ajuste

(ecuación 7), de acuerdo a los resultados del cuadro 2. La prueba estadística para seleccionar entre una distribución Gumbel o una GVE, descrita en el inciso 6 del apéndice 1, es muy sencilla y a la vez tan efectiva como los algoritmos propuestos por Van Montfort (1970) y Otten & Van Montfort (1978), según se dedujo del contraste entre las distribuciones adoptadas (Campos, 1996).

Los resultados concentrados en los cuadros 1 y 2 para los valores *puntuales* de la PMP según el método de Hershfield y el enfoque probabilístico, en las 105 estaciones pluviométricas utilizadas, constituyen un importante acervo de valores para diseño en tales localidades, o bien para construir mapas de áreas o cuencas específicas, obtener el valor medio, por ejemplo a través del método de los polígonos de Thiessen y después corregir esta estimación al tomar en cuenta la reducción por tamaño de éstas, y de ahí hacer estimaciones para otras duraciones.

Como resultado de la comparación entre la precipitación máxima probable (PMP) calculada con el método estadístico de David M. Hershfield y la precipitación en 24 horas y de periodo de retorno 10,000 años ( $P_{\rm T}$ ), adoptada en el cuadro 2, se ha concluido que los cocientes PMP/ $P_{\rm T}$  son del orden de 1.761, 1.583 y 1.389, en las regiones altiplano, media y huasteca; lo que significa, que en general a la estimación estadística de la PMP, le corresponde un periodo de retorno bastante mayor de 10,000 años, aspecto que ha sido aceptado al asignar a la PMP una probabilidad anual del orden de  $10^{\rm s}$  a  $10^{\rm r}$  (Cluckie & Pessoa,1990).

El contraste entre el mapa de  $P_{\rm Tr}$  disponible actualmente, expuesto en la ilustración 3 (SRH,1976) y el construido con los valores adoptados para tal magnitud en el cuadro 2, ilustración 4, destaca los severos incrementos que ha experimentado tal variable en las zonas huasteca y altiplano, como consecuencia de las grandes lluvias ocurridas en 1993 durante el huracán Gert (GRN,1994), ahora ya tomadas en cuenta; estos incrementos son superiores al doble en el área de Tanquián y San Vicente T., así como en la zona de Venado, Charcas y Moctezuma en el altiplano: En ciertas zonas de la región media el incremento es del orden del doble, por ejemplo, en Cárdenas y Rayón.

El nuevo mapa de PMP estimada según el método estadístico de David M. Hershfield, ilustración 5, pone de manifiesto lo ya indicado, tanto en el aspecto de conducir a valores de diseño superiores al doble, como al definir la zona de mayor precipitación en el estado, en las estaciones Tansabaca y Tanlacut, así como mostrar valores característicos del orden de 400, 600 y 1,000 mm, en las regiones altiplano, media y huasteca, respectivamente.

#### 1. Datos y resultados del método estadístico de David M. de Hershfield

| No.      | Nombre de la Estación<br>Pluviométrica:           | REGIS <sup>*</sup><br>Años | TRO:<br>(No.) | Precip. (<br>mínima | Observada<br>máxima² | Me<br>Xn         | dias:<br>Xn-m    | Desv. E<br>Sn    | stándar:<br>Sn-m | Factor<br>Km <sub>c</sub> | PMP' en<br>Km=15 | 24 h<br>Km <sub>c</sub> | Cociente<br>PMP/P <sub>MAX</sub> |
|----------|---|----------------------------|---------------|---------------------|----------------------|------------------|------------------|------------------|------------------|---------------------------|------------------|-------------------------|----------------------------------|
| Esta     | ciones de la Zona Altiplano:                      |                            |               |                     |                      |                  |                  |                  |                  |                           |                  |                         |                                  |
| 1        | Cedral  | 1926-1978                  | (42)          | 23.2                | 158.2                | 48.083           | 45.398           | 24.595           | 17.592           | 17.5                      | 383.4            | 438.0                   | 2.769                            |
| 2        | Charcas   | 1921-1994                  | (72)          | 12.0                | 190.0                | 48.767           | 46.777           | 33.735           | 29.417           | 17.5                      | 584.8            | 671.9                   | 3.536                            |
| 3        | El Grito  | 1968-1993                  | (26)          | 20.5                | 86.0                 | 48.273           | 46.764           | 17.886           | 16.479           | 17.4                      | 389.5            | 442.0                   | 5.140                            |
| 4<br>5   | El Huizache(+)<br>La Maroma                       | 1966-1994<br>1965-1994     | (28)<br>(30)  | 8.0<br>21.0         | 90.0<br>80.0         | 41.893<br>46.367 | 40.111<br>45.207 | 20.002<br>15.738 | 17.977<br>14.654 | 17.7<br>17.5              | 409.1<br>346.0   | 474.0<br>393.8          | 5.267<br>4.923                   |
| 6        | La Presa  | 1975-1994                  | (20)          | 22.9                | 77.6                 | 48.540           | 47.011           | 15.789           | 14.621           | 17.3                      | 364.6            | 411.8                   | 5.307                            |
| 7        | La Reforma  | 1970-1994                  | (23)          | 24.1                | 97.5                 | 52.752           | 50.718           | 18.257           | 15.795           | 17.1                      | 385.4            | 431.8                   | 4.429                            |
| 8        | Laguna Seca                                       | 1929-1993                  | (20)          | 17.0                | 68.8                 | 38.090           | 36.474           | 15.651           | 14.262           | 17.8                      | 344.3            | 400.9                   | 5.827                            |
| 9        | Los Pilares                                       | 1963-1994                  | (32)          | 25.0                | 81.5                 | 44.688           | 43.500           | 15.315           | 13.991           | 17.5                      | 328.4            | 375.4                   | 4.606                            |
| 10       | Matehuala   | 1925-1994                  | (58)          | 17.5                | 122.0                | 51.559           | 50.323           | 23.225           | 21.421           | 17.3                      | 450.4            | 510.0                   | 4.180                            |
| 11       | Mexquitic de Carmona                              | 1962-1993                  | (31)          | 26.0                | 74.0                 | 49.261           | 48.437           | 13.412           | 12.817           | 17.3                      | 312.1            | 351.2                   | 4.746                            |
| 12<br>13 | Moctezuma<br>Palo Blanco                          | 1969-1994<br>1964-1994     | (26)<br>(30)  | 20.0<br>15.0        | 149.0<br>72.0        | 47.177<br>37.123 | 43.104<br>35.921 | 26.784<br>14.080 | 17.262<br>12.665 | 17.5<br>17.9              | 400.3<br>295.3   | 459.2<br>344.4          | 3.082<br>4.783                   |
| 14       | Presa El Peaje                                    | 1963-1994                  | (30)          | 20.0                | 131.0                | 43.775           | 40.961           | 21.033           | 13.976           | 17.5                      | 324.6            | 373.8                   | 2.853                            |
| 15       | Presa Guadalupe                                   | 1968-1994                  | (22)          | 15.0                | 70.0                 | 43.109           | 41.829           | 13.957           | 12.910           | 17.6                      | 317.4            | 363.2                   | 5.189                            |
| 16       | Salinas de Hidalgo                                | 1926-1994                  | (24)          | 8.0                 | 116.2                | 45.092           | 42.000           | 25.496           | 20.970           | 17.6                      | 478.7            | 552.3                   | 4.753                            |
| 17       | S.L.P. (Universidad)                              | 1923-1978                  | (38)          | 24.7                | 66.0                 | 39.750           | 39.041           | 11.553           | 10.840           | 17.8                      | 254.2            | 292.9                   | 4.438                            |
| 18       | S.L.P. (Los Filtros)                              | 1949-1994                  | (46)          | 15.9                | 66.5                 | 42.043           | 41.500           | 13.604           | 13.243           | 17.7                      | 293.3            | 337.1                   | 5.069                            |
| 19       | Santa María del Refugio                           | 1964-1994                  | (31)          | 16.0                | 63.1                 | 35.245           | 34.317           | 13.075           | 12.215           | 18.0                      | 283.5            | 332.1                   | 5.263                            |
| 20       | Soledad de G. Sánchez(+)                          |                            | (37)          | 16.0                | 129.5                | 43.259           | 40.864           | 28.971           | 25.395           | 17.7                      | 539.4            | 627.4                   | 4.845                            |
| 21       | Vanegas   | 1964-1993                  | (29)          | 20.0                | 77.0                 | 37.890           | 36.493           | 14.199           | 12.264           | 17.9                      | 288.8            | 336.0                   | 4.364                            |
| 22<br>23 | Venado<br>Villa de Arriaga                        | 1947-1972<br>1926-1993     | (24)<br>(59)  | 28.0<br>17.0        | 230.0<br>160.0       | 68.396<br>44.315 | 61.370<br>42.321 | 42.526<br>22.642 | 25.534<br>16.817 | 16.7<br>17.7              | 594.0<br>356.0   | 651.3<br>410.4          | 2.832<br>2.565                   |
| 24       | Villa de Ramos(+)                                 | 1979-1993                  | (36)          | 12.0                | 100.0                | 43.083           | 41.457           | 21.542           | 19.487           | 17.7                      | 427.8            | 494.9                   | 4.949                            |
| 25       | Villa Hidalgo                                     | 1962-1985                  | (23)          | 1.0                 | 84.0                 | 36.922           | 34.782           | 19.163           | 16.565           | 17.9                      | 382.1            | 448.8                   | 5.343                            |
|          | Magnitud mánima                                   |                            |               | 1.0                 | 63.5                 | 35.245           | 34.317           | 11.553           | 10.840           | 17.1                      | 254.2            | 292.9                   | 2.565                            |
|          | Magnitud Máxima                                   |                            |               | 28.0                | 230.0                | 68.396           | 61.370           | 42.526           | 29.417           | 18.0                      | 594.0            | 671.9                   | 5.827                            |
|          | Media aritmética                                  |                            |               | 17.8                | 105.6                | 45.018           | 43.067           | 20.089           | 16.766           | 17.572                    | 381.3            | 437.0                   | 4.442                            |
|          | Desviación estándar<br>Coeficiente de variación   |                            |               | 6.345<br>0.356      | 43.5<br>0.412        | 6.774<br>0.151   | 5.964<br>0.138   | 7.327<br>0.365   | 4.691<br>0.279   | 0.286<br>0.016            | 90.6<br>0.238    | 101.5<br>0.232          | 0.945<br>0.213                   |
| Esta     | aciones de la Zona Media:                         |                            |               |                     |                      |                  |                  |                  |                  |                           |                  |                         |                                  |
| 1        | Armadillo de los Infante                          | 1960-1994                  | (34)          | 22.0                | 135.5                | 57.044           | 54.667           | 29.403           | 26.332           | 17.0                      | 581.6            | 651.3                   | 4.807                            |
| 2        | Cárdenas  | 1929-1994                  | (51)          | 19.4                | 180.5                | 64.290           | 61.966           | 35.844           | 32.092           | 16.7                      | 664.7            | 733.4                   | 4.063                            |
| 3<br>4   | Cerritos<br>Ciudad del Maíz                       | 1922-1994<br>1923-1994     | (45)<br>(58)  | 24.0<br>4.0         | 104.5<br>350.0       | 62.036<br>69.871 | 61.070<br>64.956 | 21.973<br>55.919 | 21.240<br>41.915 | 16.8<br>16.6              | 465.3<br>842.1   | 511.6<br>924.9          | 4.896<br>2.643                   |
| 5        | Colonia Álvaro Obregón                            | 1930-1993                  | (52)          | 19.0                | 254.0                | 59.738           | 55.929           | 44.978           | 35.971           | 17.0                      | 728.2            | 817.1                   | 3.217                            |
| 6        | Guadalcazar                                       | 1962-1994                  | (32)          | 22.0                | 125.5                | 64.294           | 62.319           | 28.192           | 26.314           | 16.7                      | 595.0            | 652.8                   | 5.202                            |
| 7        | Lagunillas  | 1943-1994                  | (38)          | 28.0                | 240.5                | 84.566           | 80.351           | 48.401           | 41.401           | 15.9                      | 890.7            | 939.0                   | 3.904                            |
| 8        | La Salitrera                                      | 1960-1993                  | (27)          | 17.0                | 90.5                 | 45.952           | 44.238           | 19.256           | 17.412           | 17.5                      | 403.9            | 462.1                   | 5.106                            |
| 9        | Nogal Oscuro                                      | 1966-1994                  | (30)          | 31.0                | 128.5                | 67.447           | 65.341           | 26.072           | 23.797           | 16.5                      | 552.3            | 600.4                   | 4.672                            |
| 10       | Ojo Caliente                                      | 1966-1994                  | (28)          | 20.7                | 76.1                 | 42.125           | 40.867           | 15.909           | 14.724           | 17.7                      | 344.5            | 397.0                   | 5.217                            |
| 11       | Ojo de Agua                                       | 1935-1994<br>1961-1994     | (37)          | 20.0                | 300.2                | 85.019           | 79.042           | 48.426           | 32.441           | 16.0                      | 719.2            | 759.3                   | 2.529                            |
| 12<br>13 | Ojo de Agua Seco<br>Paredes                       | 1961-1994                  | (32)<br>(32)  | 26.5<br>27.5        | 162.0<br>160.0       | 72.272<br>69.422 | 69.377<br>66.500 | 30.188<br>32.190 | 25.781<br>28.079 | 16.3<br>16.5              | 592.4<br>634.7   | 638.3<br>689.4          | 3.940<br>4.309                   |
| 14       | Paso de San Antonio                               | 1943-1994                  | (40)          | 20.2                | 190.0                | 58.315           | 54.938           | 30.125           | 21.526           | 17.0                      | 473.1            | 528.3                   | 2.781                            |
| 15       | Pastora(+)  | 1962-1993                  | (32)          | 20.0                | 95.0                 | 46.803           | 45.248           | 19.756           | 17.983           | 17.5                      | 409.7            | 468.1                   | 4.927                            |
| 16       | Pedro Montoya                                     | 1966-1994                  | (26)          | 25.0                | 176.0                | 67.915           | 63.592           | 34.512           | 27.102           | 16.6                      | 624.3            | 681.6                   | 3.873                            |
| 17       | Presa Álvaro Obregón                              | 1936-1994                  | (59)          | 19.3                | 269.7                | 58.042           | 54.393           | 45.541           | 36.206           | 17.1                      | 724.9            | 817.2                   | 3.030                            |
| 18       | Rayón   | 1960-1994                  | (33)          | 37.2                | 157.0                | 71.015           | 68.328           | 27.061           | 22.583           | 16.4                      | 525.7            | 567.3                   | 3.613                            |
| 19       | Ríoverde  | 1921-1994                  | (72)          | 25.7                | 117.5                | 52.722           | 51.810           | 19.160           | 17.651           | 17.2                      | 377.9            | 425.2                   | 3.619                            |
| 20       | San Francisco                                     | 1960-1994<br>1960-1994     | (33)          | 7.0                 | 86.5                 | 42.555           | 41.181           | 22.111<br>26.358 | 20.986           | 17.7                      | 462.8            | 536.3                   | 6.200                            |
| 21<br>22 | San José Alburquerque<br>San Nicolás Tolentino(+) | 1960-1994<br>1960-1994     | (33)<br>(34)  | 7.5<br>23.0         | 126.5<br>130.0       | 46.258<br>60.709 | 43.750<br>58.609 | 26.358           | 22.427<br>21.392 | 17.5<br>16.8              | 494.0<br>489.0   | 568.7<br>540.5          | 4.496<br>4.158                   |
| 23       | Santa María del Río                               | 1960-1994                  | (26)          | 23.0<br>8.5         | 110.0                | 48.962           | 46.520           | 21.567           | 17.974           | 17.4                      | 419.3            | 476.7                   | 4.136                            |
| 24       | Tierra Nueva                                      | 1961-1994                  | (32)          | 11.4                | 70.0                 | 37.566           | 36.519           | 17.372           | 16.603           | 17.9                      | 372.2            | 435.6                   | 6.223                            |
| 25       | Vigas   | 1961-1994                  | (32)          | 22.5                | 213.9                | 65.372           | 60.581           | 40.273           | 30.281           | 16.7                      | 670.8            | 740.3                   | 3.461                            |
| 26       | Villa de Reyes                                    | 1952-1994                  | (28)          | 20.0                | 150.0                | 54.179           | 50.630           | 26.442           | 18.969           | 17.2                      | 440.9            | 496.3                   | 3.309                            |
| 27<br>28 | Villa Juárez<br>Zaragoza                          | 1959-1994<br>1960-1994     | (34)<br>(34)  | 24.0<br>13.5        | 153.0<br>64.0        | 64.324<br>34.929 | 61.636<br>34.048 | 31.531<br>12.641 | 27.786<br>11.730 | 16.7<br>18.0              | 618.3<br>270.4   | 680.2<br>316.8          | 4.446<br>4.950                   |
|          | -   | .000 1004                  | (34)          |                     |                      |                  |                  |                  |                  |                           |                  |                         |                                  |
|          | Magnitud mínima Magnitud máxima                   |                            |               | 4.0                 | 64.0<br>350.0        | 34.929<br>85.019 | 34.048           | 12.641<br>55.919 | 11.730<br>41.915 | 15.9<br>18.0              | 270.4            | 316.8<br>939.0          | 2.529<br>6.223                   |
|          | Magnitud máxima<br>Media aritmética               |                            | -             | 37.2<br>20.2        | 350.0<br>157.7       | 59.062           | 80.351<br>56.372 | 29.842           | 24.953           | 18.0<br>16.961            | 890.7<br>549.6   | 609.1                   | 4.212                            |
|          | Desviación estándar                               |                            |               | 7.532               | 71.65                | 12.781           | 11.868           | 10.993           | 7.766            | 0.547                     | 151.8            | 157.2                   | 0.965                            |
|          |   |                            |               |                     |                      |                  |                  |                  |                  |                           |                  |                         |                                  |

#### 1. Datos y resultados del método estadístico de David M. de Hershfield (Continuación)

| No.      | Nombre de la Estación<br>Pluviométrica: | REGIS <sup>-</sup><br>Años | ΓRO:<br>(No.) | Precip. (<br>mínima | Observada<br>máxima² | Me<br>Xn           | edias:<br>Xn-m     | Desv. E<br>Sn    | stándar:<br>Sn-m | Factor<br>Km <sub>e</sub> | PMP¹ en<br>Km=15 | 24 h<br>Km <sub>e</sub> | Cociente<br>PMP/P <sub>MA</sub> |
|----------|---|----------------------------|---------------|---------------------|----------------------|--------------------|--------------------|------------------|------------------|---------------------------|------------------|-------------------------|---------------------------------|
| Esta     | ciones de la Zona Huastec               |                            |               |                     |                      |                    |                    |                  | ,                |                           |                  |                         |                                 |
| 1        | Abritas                                 | 1961-1994                  | (33)          | 64.0                | 280.0                | 143.194            | 138.919            | 51.146           | 45.582           | 13.7                      | 1062.6           | 986.3                   | 3.523                           |
| 2        | Agua Buena                              | 1928-1992                  | (55)          | 63.0                | 300.0                | 135.536            | 132.491            | 44.028           | 38.148           | 14.0                      | 853.4            | 808.5                   | 2.695                           |
| 3        | Altamira                                | 1960-1994                  | (32)          | 80.0                | 246.0                | 132.400            | 128.735            | 38.406           | 32.866           | 14.1                      | 802.3            | 761.5                   | 3.096                           |
| 4        | Aquismón                                | 1960-1994                  | (35)          | 86.0                | 350.0                | 180.917            | 175.944            | 70.658           | 65.208           | 12.6                      | 1481.5           | 1277.8                  | 3.651                           |
| 5        | Ballesmi                                | 1954-1994                  | (39)          | 60.0                | 238.2                | 128.479            | 125.592            | 41.398           | 37.765           | 14.2                      | 869.1            | 831.0                   | 3.489                           |
| 6        | Chalchuicuautla                         | 1961-1994                  | (33)          | 65.5                | 316.0                | 139.258            | 133.734            | 53.821           | 44.170           | 13.9                      | 1028.2           | 964.2                   | 3.051                           |
| 7        | Chapulhuacanito                         | 1973-1994                  | (21)          | 77.3                | 420.5                | 175.343            | 163.085            | 80.447           | 59.084           | 12.8                      | 1427.1           | 1248.3                  | 2.969                           |
| 8        | Damián Carmona                          | 1960-1994                  | (35)          | 61.0                | 266.0                | 127.486            | 123.412            | 47.375           | 41.399           | 14.3                      | 953.9            | 914.2                   | 3.437                           |
| 9        | Ebano                                   | 1961-1994                  | (30)          | 44.0                | 174.0                | 85.690             | 82.645             | 32.785           | 28.725           | 15.8                      | 671.0            | 700.6                   | 4.026                           |
| 10       | El Choy                                 | 1960-1991                  | (32)          | 52.5                | 333.8                | 126.678            | 119.997            | 64.387           | 52.988           | 14.4                      | 1190.8           | 1146.2                  | 3.434                           |
| 11       | El Coco                                 | 1965-1994                  | (28)          | 41.5                | 155.5                | 92.946             | 90.630             | 32.638           | 30.824           | 15.4                      | 727.3            | 745.4                   | 4.794                           |
| 12       | El Fiscal                               | 1972-1994                  | (23)          | 41.2                | 275.5                | 114.687            | 107.377            | 58.699           | 48.189           | 14.7                      | 1118.8           | 1101.3                  | 3.997                           |
| 13       | El Naranjo                              | 1958-1994                  | (37)          | 60.0                | 310.5                | 131.208            | 126.228            | 54.669           | 46.153           | 14.2                      | 1040.4           | 991.5                   | 3.193                           |
| 14       | El Peñón                                | 1972-1994                  | (22)          | 60.0                | 275.0                | 142.591            | 136.286            | 55.742           | 48.417           | 13.7                      | 1165.4           | 1078.2<br>1237.1        | 3.921<br>3.724                  |
| 15       | El Pujal(+)                             | 1954-1994                  | (42)          | 48.5                | 332.2                | 138.107            | 133.373            | 68.290           | 61.769           | 14.0                      | 1317.7           | 1237.1                  | 3.638                           |
| 16       | El Salto                                | 1953-1978                  | (25)          | 62.0                | 334.0                | 136.760            | 128.542            | 68.480           | 55.959<br>37.721 | 14.0<br>15.2              | 1291.1<br>853.8  | 864.7                   | 2.543                           |
| 17       | El Tigre                                | 1961-1994                  | (34)          | 47.0                | 340.0<br>180.5       | 104.279<br>96.526  | 97.136<br>92.709   | 55.808<br>36.962 | 32.867           | 15.2                      | 786.6            | 800.4                   | 4.434                           |
| 18       | El Tulillo                              | 1972-1993                  | (23)          | 48.5<br>55.0        | 440.7                | 163.944            | 156.037            | 80.458           | 65.930           | 13.2                      | 1464.9           | 1311.1                  | 2.975                           |
| 19       | Gallinas                                | 1959-1994<br>1958-1989     | (36)<br>(32)  | 38.0                | 237.5                | 88.725             | 83.926             | 38.805           | 28.185           | 15.7                      | 656.5            | 683.8                   | 2.879                           |
| 20       | Las Adjuntas                            | 1964-1994                  | (31)          | 70.7                | 391.2                | 139.135            | 130.733            | 69.097           | 51.721           | 14.0                      | 1181.9           | 1112.2                  | 2.843                           |
| 21<br>22 | Las Moritas<br>Maitines(+)              | 1962-1991                  | (30)          | 50.0                | 207.0                | 113.060            | 109.821            | 38.447           | 34.712           | 14.7                      | 822.6            | 809.5                   | 3.911                           |
| 23       | Micos                                   | 1960-1994                  | (35)          | 43.5                | 230.4                | 120.237            | 116.997            | 46.465           | 42.963           | 14.5                      | 977.4            | 948.8                   | 4.118                           |
| 24       | Papagayos                               | 1944-1994                  | (35)          | 60.0                | 190.0                | 99.029             | 96.353             | 31.086           | 27.156           | 15.3                      | 643.7            | 652.8                   | 3.436                           |
| 25       | Pedro Antonio Santos                    | 1961-1990                  | (30)          | 64.3                | 362.0                | 174.363            | 167.893            | 80.516           | 73.577           | 12.8                      | 1667.6           | 1451.9                  | 4.011                           |
| 26       | Peñitas                                 | 1927-1954                  | (26)          | 42.8                | 320.0                | 102.473            | 93.772             | 70.722           | 56.210           | 15.3                      | 1249.7           | 1271.8                  | 3.974                           |
| 27       | Ponciano Arriaga                        | 1971-1994                  | (23)          | 39.6                | 281.0                | 119.678            | 112.345            | 63.832           | 54.524           | 14.6                      | 1255.2           | 1221.6                  | 4.347                           |
| 28       | Requetemu                               | 1954-1994                  | (41)          | 80.7                | 420.1                | 172.985            | 166.807            | 70.508           | 59.110           | 12.9                      | 1312.0           | 1155.9                  | 2.751                           |
| 29       | San Antonio de los G.                   | 1960-1993                  | (32)          | 32.0                | 327.0                | 112.563            | 105.645            | 64.559           | 52.197           | 14.9                      | 1158.3           | 1150.3                  | 3.518                           |
| 30       | San Dieguito                            | 1960-1994                  | (35)          | 62.0                | 271.5                | 131.957            | 127.853            | 42.556           | 35,475           | 14.1                      | 843.0            | 801.8                   | 2.953                           |
| 31       | San Felipe                              | 1972-1994                  | (23)          | 51.1                | 325.0                | 128.752            | 119.832            | 70.710           | 57.625           | 14.3                      | 1327.6           | 1270.6                  | 3.910                           |
| 32       | San Juan del Meco                       | 1937-1994                  | (44)          | 43.0                | 297.5                | 99.418             | 94.812             | 51.852           | 42.387           | 15.4                      | 899.7            | 918.3                   | 3.087                           |
| 33       | San Vicente T.(+)                       | 1927-1994                  | (37)          | 20.0                | 323.2                | 105.616            | 99.572             | 69.384           | 59.678           | 15.1                      | 1271.6           | 1282.5                  | 3.968                           |
| 34       | Santa Cruz(+)                           | 1961-1994                  | (34)          | 76.0                | 240.0                | 144.874            | 144.991            | 42.293           | 39.412           | 13.6                      | 940.9            | 870.3                   | 3.626                           |
| 35       | Santa Rosa(+)                           | 1958-1994                  | (37)          | 53.4                | 294.8                | 125.595            | 120.894            | 55.812           | 48.614           | 14.4                      | 1082.1           | 1042.1                  | 3.535                           |
| 36       | Santiaguillo                            | 1971-1994                  | (24)          | 60.0                | 298.2                | 138.171            | 131.213            | 62.175           | 53.167           | 13.9                      | 1243.4           | 1163.3                  | 3.901                           |
| 37       | Tamapatz                                | 1966-1994                  | (29)          | 94.5                | 330.0                | 211.759            | 207.536            | 75.347           | 73.151           | 11.7                      | 1711.8           | 1388.0                  | 4.206                           |
| 38       | Tamuín                                  | 1974-1994                  | (21)          | 37.8                | 271.5                | 119.514            | 111.915            | 65.027           | 56.342           | 14.5                      | 1309.7           | 1273.5                  | 4.691                           |
| 39       | Tancuilín                               | 1961-1994                  | (34)          | 82.0                | 411.8                | 182.300            | 175.345            | 88.908           | 80.349           | 12.6                      | 1784.8           | 1533.6                  | 3.724                           |
| 40       | Tanlacut                                | 1961-1993                  | (33)          | 72.8                | 443.7                | 167.591            | 158.963            | 94.438           | 81.671           | 13.1                      | 1798.6           | 1593.5                  | 3.591                           |
| 41       | Tanlajás                                | 1972-1994                  | (22)          | 73.5                | 325.0                | 153.768            | 145.614            | 65.658           | 54.687           | 13.4                      | 1306.0           | 1184.4                  | 3.644                           |
| 42       | Tanlú                                   | 1973-1994                  | (22)          | 40.0                | 320.2                | 124.377            | 115.052            | 76.092           | 63.804           | 14.4                      | 1458.1           | 1408.5                  | 4.399                           |
| 43       | Tanquián                                | 1960-1994                  | (34)          | 54.0                | 370.0                | 111.135            | 103.291            | 56.215           | 33.187           | 15.0                      | 771.4            | 770.8                   | 2.083                           |
| 44       | Tantizohuiche                           | 1935-1994                  | (49)          | 11.5                | 426.0                | 128.373            | 122.173            | 71.708           | 57.684           | 14.4                      | 1209.1           | 1164.2                  | 2.733                           |
| 45       | Tansabaca                               | 1958-1994                  | (37)          | 59.3                | 452.8                | 186.441            | 179.064            | 112.173          | 104.266          | 12.5                      | 2228.5*          | 1895.8                  | 4.187                           |
| 46       | Temamatla                               | 1961-1994                  | (34)          | 69.9                | 374.9                | 170.785            | 164.600            | 79.572           | 72.029           | 12.9                      | 1608.6           | 1413.2                  | 3.770                           |
| 47       | Tierra Blanca                           | 1959-1994                  | (36)          | 63.5                | 371.2                | 159.597            | 153.551            | 68.443           | 58.887           | 13.3                      | 1325.2           | 1193.8                  | 3.216                           |
| 48       | Tlamaya                                 | 1972-1994                  | (23)          | 76.0                | 313.5                | 158.713            | 151.677            | 55.921           | 45.643           | 13.2                      | 1119.3           | 1007.4                  | 3.213                           |
| 49       | Valles                                  | 1943-1968                  | (26)          | 40.0                | 250.6                | 112.858            | 107.348            | 59.359           | 53.368           | 14.8                      | 1209.0           | 1192.5                  | 4.759                           |
| 50       | Velasco                                 | 1960-1994                  | (31)          | 38.0                | 178.0                | 85.219             | 82.217             | 36.879           | 33.170           | 15.8                      | 756.7<br>1345.0  | 792.1<br>1230.8         | 4.450<br>3.752                  |
| 51<br>52 | 20 de Noviembre<br>Xilitla              | 1973-1994<br>1964-1994     | (20)<br>(31)  | 60.0<br>103.0       | 328.0<br>420.0       | 149.195<br>203.397 | 139.784<br>196.177 | 68.791<br>68.206 | 55.905<br>56.042 | 13.5<br>12.0              | 1345.0           | 1122.9                  | 2.674                           |
|          | Magnitud minima                         |                            |               | 11.5                | 155.5                | 85.219             | 82.217             | 31.086           | 27.156           | 11.7                      | 643.7            | 652.8                   | 2.083                           |
|          | Magnitud máxima                         |                            |               | 103.0               | 452.8                | 211.759            | 207.536            | 112.173          | 104.266          | 15.8                      | 1798.6           | 1895.8                  | 4.794                           |
|          | Media aritmética                        |                            |               | 57.3                | 311.0                | 135.340            | 129.435            | 60.534           | 51.359           | 14.08                     | 1150.9           | 1095.3                  | 3.586                           |
|          | Desviación estándar                     |                            |               | 17.77               | 74.49                | 30.265             | 29.629             | 16.994           | 15.423           | 0.992                     | 298.19           | 259.7                   | 0.611                           |
|          | Coeficiente de variación                |                            |               | 0.310               | 0.239                | 0.224              | 0.229              | 0.281            | 0.300            | 0.070                     | 0.259            | 0.237                   | 0.170                           |

<sup>&</sup>lt;sup>1</sup> Precipitación Máxima Probable en milímetros

<sup>&</sup>lt;sup>2</sup> se designa por P<sub>MAX</sub>

<sup>(+)</sup> Estaciones con alguna inconsistencia (inhomogéneas). Ver apéndice 2.

<sup>\*</sup> Superior al máximo mundial observado (valor eliminado)

#### 2. Contraste de resultados y valores adoptados para la $P_{\tau_r}$

| Nombre de la Estación         |  |  |                    |                 |   | etorno 10 00   |   |  |  |  |   |
|-------------------------------|--|--|--------------------|-----------------|---|----------------|---|--|--|--|---|
| Nombre de la Estación         | EEA <sup>3</sup>   | P <sub>T</sub>   | EEA <sup>3</sup>   | P <sub>tr</sub> | EEA <sup>3</sup>  | P <sub>T</sub> | EEA <sup>3</sup>                              | P <sub>T</sub>   | P <sub>۱</sub> ,<br>Adopt.                           | Helaci<br>P <sub>tr</sub> /P <sub>MAX</sub>                            | ones:<br>PPM/P <sub>1</sub> ,   |
| aciones de la Zona Altiplano: |  |  |                    |                 |   |                |   |  |  |  |   |
| Cedral                        | 6.9  | 655  | 6.8                | 598             | 7.0   | 603            |   |  | 603  | 3.812  | 0.726   |
| Charcas                       | 10.3   |  |                    |                 |   |                |   |  |  |  | 0.720   |
|                               |  |  |                    |                 |   |                |   |  |  |  |   |
|                               |  |  |                    |                 |   |                |   |  |  |  | 2.135   |
| , ,                           |  |  |                    |                 |   |                |   |  |  |  | 2.215   |
|                               |  |  |                    |                 |   |                |   |  |  |  | 2.129   |
|                               |  |  |                    |                 |   |                |   |  |  |  | 2.167   |
|                               |  |  |                    |                 |   |                |   |  |  |  | 2.046   |
| -                             |  |  |                    |                 |   |                |   |  |  |  | 2.144   |
|                               |  |  |                    |                 |   |                |   |  |  |  | 1.746   |
|                               |  |  |                    |                 |   |                |   |  |  | 2.131  | 1.962   |
| *                             |  |  |                    |                 |   |                |   | 115  | 117  | 1.581  | 3.002   |
|                               |  |  |                    |                 |   | 237            | 8.9   | 966  | 728  | 4.886  | 0.631   |
|                               |  |  |                    | 141             | 3.0   | 150            | 3.0   | 137  | 160  | 2.222  | 2.153   |
| Presa El Peaje                | 7.5  | 534  | 7.1                | 486             | 7.3   | 541            | 8.0   | 432  | 541  | 4.130  | 0.691   |
| Presa Guadalupe               | 2.8  | 84   | 3.6                | 91              | 2.8   | 84             | 2.7   | 101  | 101  | 1.443  | 3.596   |
| Salinas de Hidalgo            | 4.5  | 261  | 5.5                | 192             | 4.9   | 251            | 4.8   | 240  | 261  | 2.246  | 2.116   |
| S.L.P. (Universidad)          | 1.8  | 143  | 2.0                | 151             | 1.9   | 136            |   |  |  |  | 1.487   |
| S.L.P. (Los Filtros)          | 3.2  | 158  | 2.6                | 119             |   |                |   |  |  |  | 2.134   |
|                               | 1.9  | 152  |                    |                 |   |                |   |  |  |  | 2.185   |
| _                             |  |  |                    |                 |   |                |   |  |  |  | 0.551   |
| 7 7                           |  |  |                    |                 |   |                |   |  |  |  | 1.480   |
| <del>-</del>                  |  |  |                    |                 |   |                |   |  |  |  |   |
|                               |  |  |                    |                 |   |                |   |  |  |  | 0.516   |
| _                             |  |  |                    |                 |   |                |   |  |  |  | 1.190   |
| • •                           |  |  |                    |                 |   |                |   |  |  |  | 2.152   |
| villa midalgo                 | 2.8  | 207  | 4.4                | 125             | 3.3   | 195            | 3.1   | 136  | 207  | 2.464  | 2.168   |
| Magnitud mínima               |  | 84   |                    | 91              |   | 84             |   | 101  | 101  | 1.443  | 0.516   |
| _                             |  |  |                    |                 |   |                |   | 966  | 1263   | 8.795  | 3.596   |
|                               |  |  |                    |                 |   |                |   | 254.3  | 361.6  | 3.056  | 1.761   |
|                               |  |  |                    |                 |   | 311.7          |   | 203.1  | 324.0  | 1.582  | 0.786   |
| Coeficiente de variación      |  | 0.961  |                    | 0.977           |   | 0.977          |   | 0.799  | 0.896  | 0.518  | 0.446   |
| aciones de la Zona Media:     |  |  |                    |                 |   |                |   |  |  |  |   |
| Aramadillo de los Infante     | 7.4  | 312  | 6.6                | 560             | 6.8   | 654            | 6.4   | 846  | 654  | 4.827  | 0.996   |
| Cárdenas                      | 6.4  | 859  | 6.1                | 651             | 6.2   | 866            | 6.1   |  |  |  | 0.847   |
| Cerritos                      | 4.3  | 248  | 3.0                | 168             | 2.5   | 157            | 2.7   | 175  |  |  | 2.063   |
| Ciudad del Maíz               | 18.6   | 885  | 17.1               | 851             | 14.6  |                |   |  |  |  | 1.087   |
| Colonia Álvaro Obregón        | 14.2   | 642  | 10.4               |                 |   |                |   |  |  |  | 1.273   |
| Guadalcazar                   | 4.8  | 312  | 4.9                |                 |   |                |   |  |  |  | 2.092   |
| Lagunillas                    | 16.8   |  |                    |                 |   |                |   |  |  |  | 0.969   |
|                               |  |  |                    |                 |   |                |   |  |  |  | 2.159   |
|                               |  |  |                    |                 |   |                |   |  |  |  | 1.720   |
| •                             |  |  |                    |                 |   |                |   |  |  |  |   |
| •                             |  |  |                    |                 |   |                |   |  |  |  | 2.181   |
|                               |  |  |                    |                 |   |                |   |  |  |  | 1.030   |
|                               |  |  |                    |                 |   |                |   |  |  |  | 1.934   |
|                               |  |  |                    |                 |   |                |   |  |  |  | 1.768   |
|                               |  |  |                    |                 |   |                |   |  |  |  | 1.223   |
|                               |  |  |                    |                 |   |                |   |  |  |  | 2.128   |
|                               |  |  |                    |                 |   |                |   |  | 716  | 4.068  | 0.952   |
| _                             |  |  |                    |                 |   |                |   |  | 719  | 2.666  | 1.137   |
| -                             |  |  |                    | 619             | 8.6   | 698            | 9.1   | 1130   | 698  | 4.446  | 0.813   |
|                               | 3.0  | 207  | 2.9                | 252             | 3.0   | 207            | 2.8   | 291  | 291  | 2.477  | 1.461   |
| San Francisco                 | 4.9  | 238  | 5.0                | 139             | 5.0   | 223            | 4.8   | 181  | 238  | 2.751  | 2.253   |
| San José Alburquerque         | 6.4  | 262  | 6.3                | 288             | 6.9   | 248            | 6.1   | 277  | 288  | 2.277  | 1.975   |
| San Nicolás Tolentino(+)      | 3.8  | 268  | 4.6                | 245             | 4.2   | 258            | 4.2   |  |  |  | 2.017   |
| Conta María del Día           | 4.1  | 230  | 5.1                | 203             | 4.5   | 222            |   |  |  |  | 2.073   |
| Santa María del Río           | Mr. 1  | 200  | J. I               | 200             | 4.0   | ~~~            | 4.8   | 179  | 230  | 2.091  |   |
|                               | Cedral Charcas El Grito El Huizache(+) La Maroma La Presa La Reforma Laguna Seca Los Pilares Matehuala Mexquitic de Carmona Moctezuma Palo Blanco Presa El Peaje Presa Guadalupe Salinas de Hidalgo S.L.P. (Universidad) S.L.P. (Los Filtros) Santa Ma. del Refugio Soledad de G. Sánchez(+) Vanegas Venado Villa de Arriaga Villa de Arriaga Villa de Ramos(+) Villa Hidalgo  Magnitud mínima Magnitud máxima Media aritmética Desviación estándar Coeficiente de variación aciones de la Zona Media:  Aramadillo de los Infante Cárdenas Cerritos Ciudad del Maíz Colonia Álvaro Obregón Guadalcazar Lagunillas La Salitrera Nogal Oscuro Ojo Caliente Ojo de Agua Ojo de Agua Seco Paredes Paso de San Antonio Pastora(+) Pedro Montoya Presa Álvaro Obregón Rayón Rioverde San Francisco San José Alburquerque | Cedral   6.9     Charcas   10.3     El Huizache(+)   2.9     La Maroma   3.4     La Presa   3.1     La Reforma   3.1     Laguna Seca   3.0     Los Pilares   2.2     Matehuala   4.8     Mexquitic de Carmona   9.2     Palo Blanco   2.7     Presa Guadalupe   2.8     Salinas de Hidalgo   4.5     S.L.P. (Universidad)   1.8     S.L.P. (Universidad)   1.8     S.L.P. (Los Filtros)   3.2     Santa Ma. del Refugio   1.9     Soledad de G. Sánchez(+)   9.5     Vanegas   1.7     Venado   15.6     Villa de Arriaga   6.7     Villa de Ramos(+)   2.5     Villa Hidalgo   2.8     Magnitud mínima   Magnitud máxima     Media aritmética   Desviación estándar     Coeficiente de variación     Coincia Álvaro Obregón   14.2     Guadalcazar   4.8     La Salitrera   3.4     Nogal Oscuro   5.6     Ojo Caliente   3.5     Ojo de Agua   17.9     Ojo de Agua Seco   4.4     Paredes   5.6     Paso de San Antonio   9.6     Pastora(+)   9.5     Rayón   8.9     Rioverde   3.0     San José Alburquerque   6.4     Carriacico   4.9     San José Alburquerque   6.4     Carriacico   4.9     San José Alburquerque   6.4 | Cedral   6.9   655 | EEA3            | EEA*   P <sub>n</sub>   EEA*   P <sub>n</sub>   EEA*   P <sub>n</sub> | EEA            | EEA3   Ps   EEA3   Ps   EEA5   Ps   EEA5   Ps | Cedral   6.9   655   6.8   598   7.0   603   7-0   7 | Cedral   G.9   655   G.8   598   7.0   603   7-   7- | Cedral   G.P.   GEA*   P.   EEA*   P.   EEA*   P.   EEA*   P.   Acopt. | Cedral   G.P.   Cedral   G.P.   Cedral   P.   Cedral   P.   Cedral   G.P.   Cedral   G.P. |

#### 2. Contraste de resultados y valores adoptados para la $P_{\mbox{\tiny Tr}}$ (continuación)

| No.  | Nombre de la Estación        | mbre de la Estación Gumbel o 0 |              |                  | 4 horas y pe<br>arson III |                  | etorno 10 00<br>I o GVE² |                  | $(P_{\tau_i})$ , en mm.<br>Insf. Pot. $P_{\tau_i}$ |        | Relaciones:      |                    |
|------|------------------------------|--------------------------------|--------------|------------------|---------------------------|------------------|--------------------------|------------------|--|--------|------------------|--------------------|
|      |                              | EEA <sup>3</sup>               | $P_{\tau_t}$ | EEA <sup>3</sup> | $P_{\tau_r}$              | EEA <sup>3</sup> | $P_{\tau_r}$             | EEA <sup>3</sup> | $P_{r}$  | Adopt. | $P_{Tr}/P_{MAX}$ | PPM/P <sub>T</sub> |
| 25   | Vigas                        | 12.7                           | 1202         | 12.0             | 1182                      | 12.5             | 1475                     | 12.7             | 1957*  | 1182   | 5.526            | 0.626              |
| 26   | Villa de Reyes               | 8.2                            | 269          | 8.0              | 327                       | 8.7              | 252                      | 7.8              | 336  | 336    | 2.240            | 1.477              |
| 27   | Villa Juárez                 | 3.7                            | 337          | 4.1              | 408                       | 4.4              | 320                      | 3.7              | 412  | 412    | 2.693            | 1.651              |
| 28   | Zaragoza                     | 2.0                            | 149          | 2.0              | 90                        | 2.1              | 141                      | 1.7              | 102  | 149    | 2.328            | 2.126              |
|      | Magnitud minima              |                                | 149          |                  | 90                        |                  | 141                      |                  | 102  | 149    | 2.037            | 0.626              |
|      | Magnitud máxima              |                                | 1202         |                  | 1477                      |                  | 1908**                   |                  | 1130   | 1182   | 5.526            | 2.293              |
|      | Media aritmética             |                                | 437.1        |                  | 448.9                     |                  | 444.7                    |                  | 400.0  | 468.3  | 2.886            | 1.583              |
|      | Desviación estándar          |                                | 276.7        |                  | 344.5                     |                  | 407.3                    |                  | 269.7  | 279.9  | 0.969            | 0.533              |
|      | Coeficiente de variación     |                                | 0.633        |                  | 0.768                     |                  | 0.916                    |                  | 0.674  | 0.598  | 0.336            | 0.337              |
| Esta | aciones de la Zona Huasteca: | ;                              |              |                  |                           |                  |                          |                  |  |        |                  |                    |
| 1    | Abritas                      | 5.9                            | 589          | 7.5              | 571                       | 6.7              | 568                      | 6.9              | 572  | 589    | 2.104            | 1.675              |
| 2    | Agua Buena                   | 6.5                            | 514          | 7.2              | 537                       | 7.1              | 489                      | 6.8              | 539  | 539    | 1.797            | 1.500              |
| 3    | Altamira                     | 10.4                           | 454          | 9.7              | 675                       | 11.2             | 431                      | 9.6              | 1284   | 675    | 2.744            | 1.128              |
| 4    | Aquismón                     | 10.9                           | 803          | 12.4             | 871                       | 11.8             | 761                      | 11.6             | 906  | 803    | 2.294            | 1.591              |
| 5    | Ballesmi                     | 4.1                            | 492          | 5.7              | 449                       | 4.8              | 472                      | 5.1              | 449  | 492    | 2.065            | 1.689              |
| 6    | Chalchicuatla                | 15.2                           | 575          | 15.2             | 682                       | 15.9             | 552                      | 14.8             | 659  | 682    | 2.158            | 1.414              |
| 7    | Chapulhuacanito              | 22.4                           | 836          | 20.5             | 1518                      | 24.2             | 793                      | 19.8             | 1849   | 836    | 1.988            | 1.493              |
| 8    | Damián Carmona               | 8.7                            | 542          | 8.1              | 770                       | 9.8              | 502                      | 7.6              | 1190   | 770    | 2.895            | 1.187              |
| 9    | Ebano                        | 6.5                            | 367          | 6.7              | 492                       | 7.2              | 346                      | 6.2              | 606  | 606    | 3.483            | 1.156              |
| 10   | El Choy                      | 16.4                           | 666          | 13.7             | 1171                      | 18.0             | 614                      | 12.5             | 1673   | 666    | 1.995            | 1.721              |
| 11   | El Coco                      | 8.6                            | 382          | 9.1              | 330                       | 8.9              | 359                      | 8.6              | 335  | 382    | 2.457            | 1.951              |
| 12   | El Fiscal                    | 15.2                           | 615          | 14.4             | 1132                      | 16.7             | 570                      | 13.7             | 1423   | 615    | 2.232            | 1.791              |
| 13   | El Naranjo                   | 11.5                           | 600          | 10.3             | 948                       | 12.5             | 560                      | 9.4              | 3194*  | 948    | 3.053            | 1.046              |
| 14   | El Peñón                     | 8.0                            | 625          | 10.4             | 526                       | 9.0              | 606                      | 9.4              | 542  | 625    | 2.273            | 1.725              |
| 15   | El Pujal(+)                  | 13.6                           | 1215         | 13.3             | 1107                      | 13.3             | 1409                     | 13.1             | 1192   | 1192   | 3.588            | 1.038              |
| 16   | El Salto                     | 26.3                           | 685          | 24.1             | 1439                      | 27.7             | 631                      | 23.8             | 1672   | 685    | 2.051            | 1.774              |
| 17   | El Tigre                     | 16.9                           | 1818         | 16.4             | 1615                      | 16.6             | 1732                     |                  |  | 1615   | 4.750            | 0.535              |
| 18   | El Tulillo                   | 6.7                            | 417          | 7.7              | 527                       | 7.4              | 400                      | 7.1              | 659  | 659    | 3.651            | 1.215              |
| 19   | Gallinas                     | 17.4                           | 1176         | 16.8             | 1194                      | 15.5             | 1699                     | 17.1             | 1134   | 1194   | 2.709            | 1.098              |
| 20   | Las Adjuntas                 | 12.5                           | 403          | 11.6             | 610                       | 13.2             | 377                      | 11.6             | 579  | 610    | 2.568            | 1.121              |
| 21   | Las Moritas                  | 23.4                           | 991          | 22.5             | 930                       | 19.7             | 2591*                    |                  |  | 991    | 2.533            | 1.122              |
| 22   | Maitines(+)                  | 5.9                            | 453          | 6.5              | 372                       | 6.2              | 438                      | 5.9              | 368  | 453    | 2.188            | 1.787              |
| 23   | Micos                        | 5.2                            | 531          | 6.4              | 428                       | 5.8              | 508                      | 5.8              | 437  | 531    | 2.305            | 1.787              |
| 24   | Papagayos                    | 4.3                            | 374          | 4.6              | 471                       | 5.1              | 352                      | 4.0              | 1540   | 471    | 2.479            | 1.386              |
| 25   | Pedro Antonio Santos         | 18.0                           | 876          | 18.8             | 1077                      | 19.3             | 813                      | 17.9             | 1086   | 876    | 2.420            | 1.657              |
| 26   | Peñitas                      | 25.6                           | 895          | 23.5             | 886                       | 22.5             | 3109*                    |                  |  | 886    | 2.769            | 1.435              |
| 27   | Ponciano Arriaga             | 13.5                           | 659          | 13.7             | 932                       | 14.9             | 625                      | 12.7             | 958  | 958    | 3.409            | 1.275              |
| 28   | Requetemu                    | 11.7                           | 772          | 11.4             | 947                       | 13.1             | 731                      | 10.4             | 1027   | 1027   | 2.445            | 1.126              |
| 29   | San Antonio de los G.        | 16.3                           | 1499         | 14.5             | 1353                      | 15.0             | 1883                     | 14.6             | 1534   | 1353   | 4.138            | 0.850              |
| 30   | San Dieguito                 | 7.9                            | 494          | 9.1              | 487                       | 8.6              | 474                      | 8.7              | 479  | 494    | 1.820            | 1.623              |
| 31   | San Felipe                   | 23.7                           | 747          | 20.8             | 787                       | 19.9             | 2403*                    |                  |  | 787    | 2.422            | 1.614              |
| 32   | San Juan del Meco            | 10.8                           | 1219         | 9.7              | 921                       | 13.0             | 496                      | 8.3              | 2016*  | 921    | 3.096            | 0.997              |
| 33   | San Vicente T.(+)            | 16.5                           | 1869         | 15.2             | 1293                      | 16.1             | 2001*                    | 15.0             | 1251   | 1251   | 3.871            | 1.025              |
| 34   | Santa Cruz(+)                | 5.3                            | 521          | 6.4              | 478                       | 5.8              | 502                      | 5.8              | 483  | 521    | 2.171            | 0.888              |
| 35   | Santa Rosa(+)                | 12.6                           | 600          | 10.7             | 980                       | 13.9             | 554                      | 10.2             | 1420   | 980    | 3.324            | 1.063              |
| 36   | Santiaguillo                 | 11.3                           | 676          | 12.3             | 823                       | 13.0             | 636                      | 11.5             | 832  | 832    | 2.790            | 1.398              |
| 37   | Tamapatz                     | 20.8                           | 850          | 19.4             | 628                       | 20.9             | 849                      | 18.2             | 688  | 850    | 2.576            | 1.633              |
| 38   | Tamuín                       | 18.6                           | 672          | 18.6             | 1259                      | 20.0             | 625                      | 17.7             | 1398   | 672    | 2.475            | 1.895              |
| 39   | Tancuilín                    | 20.0                           | 963          | 18.7             | 1851                      | 18.9             | 1988*                    |                  |  | 963    | 2.339            | 1.593              |
| 40   | Tanlacut                     | 26.0                           | 992          | 18.6             | 2195*                     | 19.3             | 2235*                    |                  |  | 992    | 2.236            | 1.606              |
| 41   | Tanlajas                     | 12.1                           | 721          | 12.5             | 1192                      | 13.8             | 682                      | 10.8             | 6185*  | 721    | 2.218            | 1.643              |
| 42   | Tanlú                        | 14.5                           | 769          | 14.7             | 1265                      | 15.8             | 738                      | 13.7             | 1335   | 769    | 2.402            | 1.832              |
| 43   | Tanquían                     | 24.0                           | 1223         | 21.6             | 1745                      | 22.5             | 1663                     | 24.4             | 4045*  | 1223   | 3.305            | 0.630              |
| 44   | Tantizohuiche                | 17.9                           | 1329         | 19.4             | 923                       | 17.3             | 1557                     | 23.5             | 657  | 923    | 2.167            | 1.261              |
| 45   | Tansabaca                    | 26.7                           | 1162         | 26.3             | 1079                      | 27.9             | 1061                     | 27.8             | 3547*  | 1079   | 2.383            | 1.757              |
| 46   | Temamatla                    | 19.4                           | 866          | 18.1             | 1528                      | 18.7             | 1850                     | 17.8             | 3546*  | 1528   | 4.076            | 0.925              |
| 47   | Tierra Blanca                | 16.9                           | 735          | 15.1             | 1056                      | 18.5             | 680                      | 15.4             | 1037   | 1056   | 2.845            | 1.130              |

#### 2. Contraste de resultados y valores adoptados para la $P_{\tau_r}$ (continuación)

|     |                          | Precipita                 | Precipitaciones de duración 24 horas y periodo de retorno 10 000 años (P <sub>π</sub> ), en mm. |                  |                 |                           |              |                  |          |        |                                |                    |  |
|-----|--------------------------|---------------------------|---|------------------|-----------------|---------------------------|--------------|------------------|----------|--------|--------------------------------|--------------------|--|
| No. | Nombre de la Estación    | Gumbel o GVE <sup>1</sup> |   | Log-Pearson III  |                 | Gumbel o GVE <sup>2</sup> |              | Transf. Pot.     |          | P.,    | Relaciones:                    |                    |  |
|     |                          | EEA <sup>3</sup>          | $P_{\tau_r}$  | EEA <sup>3</sup> | P <sub>tr</sub> | EEA <sup>3</sup>          | $P_{\tau_r}$ | EEA <sup>3</sup> | $P_{tr}$ | Adopt. | $P_{\text{Tr}}/P_{\text{MAX}}$ | PPM/P <sub>T</sub> |  |
| 48  | Tlamaya                  | 10.3                      | 641   | 11.3             | 639             | 11.9                      | 609          | 11.6             | 648      | 641    | 2.045                          | 1.572              |  |
| 49  | Valles                   | 10.9                      | 628   | 12.0             | 673             | 11.5                      | 603          | 11.2             | 617      | 628    | 2.506                          | 1.899              |  |
| 50  | Velasco                  | 7.3                       | 410   | 7.6              | 525             | 8.0                       | 379          | 7.2              | 576      | 576    | 3.236                          | 1.375              |  |
| 51  | 20 de Noviembre          | 21.8                      | 707   | 22.5             | 819             | 22.5                      | 685          | 21.1             | 814      | 814    | 2.482                          | 1.512              |  |
| 52  | Xilitla                  | 14.5                      | 794   | 14.8             | 975             | 16.1                      | 742          | 14.4             | 1014     | 1014   | 2.414                          | 1.107              |  |
|     | Magnitud mínima          |                           | 367   |                  | 330             |                           | 346          |                  | 335      | 382    | 1.797                          | 0.535              |  |
|     | Magnitud máxima          |                           | 1869  |                  | 1908**          |                           | 1908**       |                  | 1908**   | 1615   | 4.750                          | 1.951              |  |
|     | Media aritmética         |                           | 777.2   |                  | 911.5           |                           | 752.3        |                  | 936.5    | 826.2  | 2.668                          | 1.389              |  |
|     | Desviación estándar      |                           | 342.2   |                  | 376.0           |                           | 428.5        |                  | 418.2    | 273.9  | 0.643                          | 0.344              |  |
|     | Coeficiente de variación |                           | 0.440   |                  | 0.412           |                           | 0.570        |                  | 0.447    | 0.332  | 0.241                          | 0.248              |  |

Distribuciones ajustadas por los métodos de mo, mpp, sextiles y/o máx. ver.

PMP Precipitación Máxima Probable estimada con el método de Hershfield (mm)

- (+) Estaciones con alguna inconsistencia. Ver apéndice 2.
- Superior al máx. mundial observado (valores eliminados)
- \*\* Valor Máximo mundial (mm)

#### 3. Resultados de las pruebas de homogeneidad [estaciones que mostraron inconsistencia(s)]

| No.   | Nombre:                      | Regis   | stro: | Persistencia | Tendencia | Cociente de | Densidad  | Conclusión |
|-------|------------------------------|---------|-------|--------------|-----------|-------------|-----------|------------|
|       |                              | Años    | (No.) | $r_{i}$      |           | von Neumann | Espectral |            |
| Estad | ciones de la Zona Altiplano: | -       |       |              |           |             |           |            |
| 1     | El Huizache                  | 1966-94 | (28)  | 0.578        | Н         | NH          | NH        | NH         |
| 2     | Los Pilares                  | 1963-94 | (32)  | H            | NH(+)     | Н           | Н         | Н          |
| 3     | Matehuala                    | 1925-94 | (58)  | Н            | NH(+)     | Н           | NH        | Н          |
| 4     | Palo Blanco                  | 1964-94 | (30)  | Н            | NH(-)     | Н           | Н         | Н          |
| 5     | S.L.P. (Universidad)         | 1923-78 | (38)  | -0.357       | H         | Н           | Н         | Н          |
| 6     | Soledad de G. Sánchez        | 1944-94 | (37)  | 0.472        | Н         | NH          | NH        | NH         |
| 7     | Villa de Ramos               | 1979-93 | (36)  | 0.346        | Н         | NH          | NH        | NH         |
| Estac | ciones de la Zona Media:     |         |       |              |           |             |           |            |
| 8     | Cerritos                     | 1922-94 | (45)  | 0.226        | Н         | Н           | NH        | Н          |
| 9     | Pastora                      | 1962-93 | (32)  | 0.473        | Н         | NH          | NH        | NH         |
| 10    | Pedro Montoya                | 1966-94 | (26)  | Н            | NH(-)     | Н           | Н         | Н          |
| 11    | Rioverde                     | 1921-94 | (72)  | Н            | NH(+)     | Н           | Н         | Н          |
| 12    | San Nicolás Tolentino        | 1960-94 | (34)  | 0.436        | H         | NH          | NH        | NH         |
| 13    | Vigas                        | 1961-94 | (32)  | Н            | NH(+)     | Н           | Н         | Н          |
| 14    | Zaragoza                     | 1960-94 | (34)  | Н            | NH(-)     | Н           | Н         | Н          |
| Estac | ciones de la Zona Huasteca:  |         |       |              |           |             |           |            |
| 15    | Altamira                     | 1960-94 | (32)  | Н            | NH(-)     | Н           | Н         | H          |
| 16    | El Pujal                     | 1954-94 | (42)  | 0.384        | H         | NH          | NH        | NH         |
| 17    | Maitines                     | 1962-91 | (30)  | 0.416        | Н         | NH          | NH        | NH         |
| 18    | Papagayos                    | 1944-94 | (35)  | 0.325        | Н         | NH          | Н         | Н          |
| 19    | San Felipe                   | 1972-94 | (23)  | 0.551        | Н         | NH          | Н         | H          |
| 20    | San Vicente T.               | 1927-94 | (37)  | 0.387        | NH(+)     | NH          | NH        | NH         |
| 21    | Santa Cruz                   | 1961-94 | (34)  | 0.267        | Ĥ         | NH          | NH        | NH         |
| 22    | Santa Rosa                   | 1958-94 | (37)  | 0.425        | Н         | NH          | NH        | NH         |
| 23    | Tamuín                       | 1974-94 | (21)  | 0.389        | Н         | NH          | Н         | H          |
| 24    | Tantizohuiche                | 1935-94 | (49)  | 0.294        | H         | NH          | <br>Н     | H          |

Distribuciones ajustadas por el método de los momentos L

<sup>&</sup>lt;sup>3</sup> Error Estándar de Ajuste (mm)

P<sub>MAX</sub> Precipitación diaria máxima observada (mm)

#### Apéndice 1

## Cálculo de los parámetros de ajuste de las distribuciones Gumbel y GVE por medio del método de los *momentos L*

#### Introducción

El método de momentos es la técnica más antigua y más ampliamente descrita para ajustar una función de distribución a los datos observados. En este método las estimaciones de los parámetros de ajuste de la distribución, son obtenidos igualando los momentos muestrales con los teóricos, resultando un sistema no lineal de ecuaciones que son fácilmente resueltas. Las ventajas del método de momentos son la facilidad de cálculo y su simplicidad conceptual. Tradicionalmente, el método es aplicado igualando los momentos producto teóricos (Vogel & Fennessey, 1993):

$$\mu = E[X] \tag{1a}$$

$$\sigma^2 = \text{Var}\left[X\right] = \text{E}[(X - \mu)^2] \tag{1b}$$

$$\gamma = E[(X - \mu)^3]/\sigma^3 \tag{1c}$$

$$\kappa = E[(X - \mu)^4]/\sigma^4 \tag{1d}$$

con los momentos producto muestrales:

$$m_i = 1/n \Sigma x_i \tag{2a}$$

$$S^{2} = [1/n \Sigma (x_{i} - m)^{2}]$$
 (2b)

Cs = 
$$1/S^3 [1/n \Sigma (x_i - m)^3]$$
 (2c)

$$Ck = 1/S^4 [1/n \Sigma (x_i - m)^4]$$
 (2d)

en donde la sumatoria abarca de 1 a n. Las ecuaciones uno definen respectivamente a la media, varianza, asimetría y curtosis teóricas y las ecuaciones dos a las muestrales. Se llaman momentos producto, porque ellos dependen de las potencias de X.

Es bien conocido que en muestras pequeñas ( $n \le 100$ ) las estimaciones de  $S^2$  y Cs presentan considerable sesgo y variancia, esto se origina al elevar al cuadrado y al cubo las observaciones, pues entonces se da mayor peso a los datos que más se apartan de la media. Las simulaciones aleatorias han demostrado que tanto el Cs como el coeficiente de variación  $Cv = \sigma/\mu$  exhiben aún considerable sesgo en poblaciones altamente sesgadas ( $\gamma > 2$ ), tanto en muestras chicas como en las grandes (n < 5000).

Otra limitación de los estimadores de los momentos producto es que ellos están limitados (Vogel & Fennes-

sey,1993). Por ejemplo, Kirby (1974) mostró que tales límites dependen sólo del tamaño de la muestra, de manera que Cv está dentro del intervalo  $[0, (n-1)^{1/2}]$  y  $|Cs| = (n-2)/(n-1)^{1/2}$ .

El método de los momentos es todavía ampliamente utilizado, debido a su facilidad de interpretación y disponibilidad en paquetes elementales de cómputo, sin embargo existen alternativas simples y más eficientes como el método de los momentos de probabilidad pesada (MPP) y el de los momentos L (MOL).

#### Momentos de probabilidad pesada

La descripción de los MPP es muy útil ya que los MOL son funciones lineales de los primeros, los cuales están definidos como:

$$\beta_r = E\{X[F(X)]^r\} \tag{3}$$

donde F(X) es la función de distribución de probabilidades acumuladas de X. Cuando r = 0,  $\beta$  es la media aritmética  $\mu$  definida por la ecuación 1a. Entonces un estimador muestral del primer MPP, denominado  $b_0$ , está dado por m según la ecuación 2a. Los MPP de orden mayor son combinaciones lineales simples de estadísticas de orden de  $X_{(n)} \le X_{(n-1)} \le ..... \le X_{(1)}$ . Un estimador simple de  $\beta$ , para r = 1 es el siguiente (Stedinger et al.,1993):

$$b_r = 1/n \sum X_{(j)} [1-(j-0.35)/n]^r$$
 (4)

la sumatoria abarca de j=1 a n. El estimador anterior es sesgado y generalmente conduce a un menor error estándar cuando se ajustan distribuciones y se estiman cantidades asociadas a diversas probabilidades o periodos de retorno. Sin embargo, los estimadores insesgados son preferidos cuando se evalúa la bondad del ajuste por ejemplo a través de los diagramas de momentos L (Vogel & Fennessey,1993) y cuando se usan los MOL para estudios de regionalización de valores (Stedinger *et al.*,1993). Los estimadores insesgados de los MPP de primero, segundo y tercer orden son:

$$b_1 = \sum [(n-j)X_m]/[n(n-1)]$$
 (5)

$$b_2 = \sum [(n-j)(n-j-1)X_{(n)}]/[n(n-1)(n-2)]$$
 (6)

$$b_3 = \sum [(n-j)(n-j-1)(n-j-2)X_{(i)}]/[n(n-1)(n-2))(n-3)]$$
 (7)

las sumatorias abarcan de j=1 a n-r, X(j) son los valores observados ordenados de mayor a menor.

#### Resumen de la teoría de los momentos L

Ventajas

Los MOL fueron propuestos por J.R.M. Hosking en 1990 y son semejantes a los momentos convencionales, ya que son esperanzas matemáticas de ciertas combinaciones lineales de las estadísticas de orden (Gingras & Adamowski,1992). Estas últimas son números derivados de las propiedades de los valores ordenados de la muestra (Yevjevich,1972a). Por lo tanto, los estimadores muestrales de los MOL son siempre combinaciones lineales, de ahí su nombre, de las observaciones ordenadas o clasificadas por magnitud, por ello están sujetas a menor sesgo que los momentos producto (Vogel & Fennessey,1993).

Los MOL tienen ventajas teóricas sobre los momentos tradicionales, entre éstas, ser capaces de caracterizar un amplio número de distribuciones, estar virtualmente libres de sesgo aun en muestras cortas y ser mucho más robustos a la presencia de valores dispersos (outliers) en los datos. Un amplio estudio de simulación ha concluido que el método de los MOL es preferible en la estimación paramétrica en hidrología, ya que es común que la muestras o registros hidrológicos de crecientes y de precipitaciones máximas incluyan eventos que son varias veces mayores que otros datos, entonces cuando los momentos producto son utilizados, tales valores pueden ocultar la información proporcionada por las otras observaciones.

Por otra parte, el uso de los momentos producto de los logaritmos de los datos pueden sobreestimar la importancia de los valores pequeños. Por lo anterior, se ha concluido que en el amplio intervalo de las aplicaciones hidrológicas, los MOL proporcionan estimadores simples y eficientes de las características de los datos hidrológicos y de los parámetros de sus distribuciones (Stedinger *et al.*,1993; Vogel & Fennessey,1993; Harper *et al.*,1994).

#### Definición Conceptual

Los MOL son otra forma de representar las propiedades estadísticas de los datos hidrológicos. El estimador del primer momento L es la media aritmética. Sea  $X_{\text{(lin)}}$  la i-ésima más grande observación en una muestra de tamaño n (i=1 corresponde al mayor); entonces, para cualquier distribución, el segundo momento L es una descripción de la escala basada en la diferencia esperada entre dos observaciones seleccionadas aleatoriamente (Stedinger et~al.,1993):

$$\lambda_2 = 1/2 E[X_{(1|2)} - X_{(2|2)}] \tag{8}$$

Similarmente, los momentos L que miden la asimetría y la curtosis serán:

$$\lambda_3 = 1/3 \, \mathsf{E}[\mathsf{X}_{(1|3)} - 2\mathsf{X}_{(2|3)} + 2\mathsf{X}_{(3|3)}] \tag{9}$$

$$\lambda_4 = 1/4 \, \mathsf{E}[\mathsf{X}_{(11d)} - 3\mathsf{X}_{(21d)} + 3\mathsf{X}_{(31d)} - \mathsf{X}_{(41d)}] \tag{10}$$

Cálculo del los MOL en función de los MPP

Para cualquier distribución los MOL son fácilmente calculados en términos de los MPP según las expresiones siguientes (Vogel & Fennessey, 1993; Stedinger *et al.*, 1993):

$$\lambda_1 = \beta_0 \tag{11}$$

$$\lambda_2 = 2 \beta_1 - \beta_0 \tag{12}$$

$$\lambda_3 = 6 \, \beta_2 - 6 \, \beta_1 + \beta_0 \tag{13}$$

$$\lambda_4 = 20 \,\beta_3 - 30 \,\beta_2 + 12 \,\beta_1 - \beta_0 \tag{14}$$

Cocientes v Diagrama de MOL

En forma ánáloga a como se definen los cocientes de los momentos producto, que son el coeficiente de variación Cv, la asimetría  $\gamma$  y la curtosis  $\kappa$ , se establecen los cocientes de los MOL, ésto es (Vogel & Fennessey,1993; Stedinger *et al.*,1993):

$$\tau_2 = \lambda_2/\lambda_1 = \text{coeficiente de variación L}$$
 (15)

$$\tau_3 = \lambda_3/\lambda_2 = \text{coeficiente de asimetría L}$$
 (16)

$$\tau_4 = \lambda_4/\lambda_2 = \text{coeficiente de curtosis L}$$
 (17)

La ilustración A.1 muestra la relación entre  $\tau_3$  y  $\tau_4$ , la cual es conocida como diagrama de MOL. En esta figura se pueden describir la relaciones teóricas entre tales cocientes L de cada distribución, teniéndose los siguientes valores puntuales para las funciones:

|            | Normal | Exponencial | Gumbel |
|------------|--------|-------------|--------|
| $\tau_{3}$ | 0.0000 | 0.3333      | 0.1699 |
| τ,         | 0.1226 | 0.1666      | 0.1504 |

Para las distribuciones de probabilidad de tres parámetros se definen líneas curvas, mostrándose en la ilustración A.1 las correspondientes a las funciones Log-normal, Pearson tipo III, GVE y límite inferior de la distribución Wakeby de 5 parámetros (Campos, 1995).

### Estimación de los parámetros de ajuste de la distribución Gumbel

El parámetro de escala *a* se obtiene con base en el segundo MOL (Stedinger *et al.*,1993; Gingras & Adamowski,1994):

$$a = \lambda_2 / \text{Ln } 2 = 1.443 \lambda_2$$
 (18)

en cambio, el parámetro de ubicación u se calcula con base en la media artimética ( $\lambda_1$ = xm) de la muestra, de acuerdo a la expresión siguiente:

$$u = \lambda_1 - 0.5772 a \tag{19}$$

### Estimación de los parámetros de ajuste de la distribución *GVE*

Los parámetros de ajuste de la distribución General de Valores Extremos GVE (de forma k, de escala a y de ubicación u) se calculan con las expresiones siguientes (Stedinger et al., 1993; Gingras & Adamowski, 1994):

$$k = 7.8590 c + 2.9554 c^2$$
 (20)

siendo:

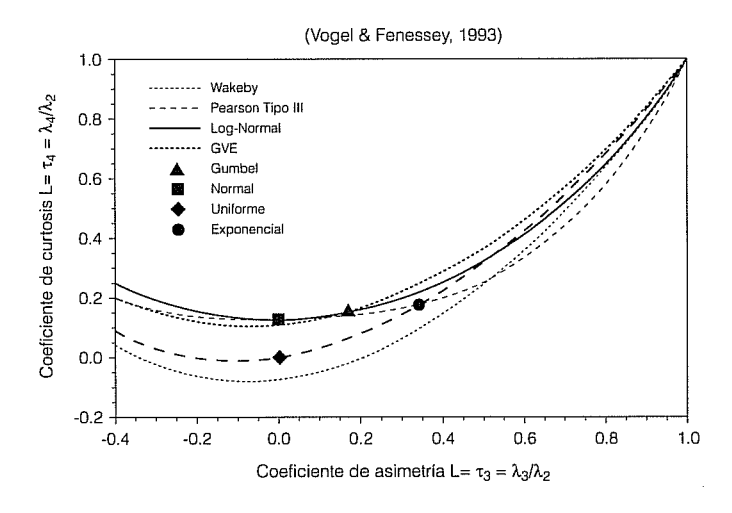
$$c = [(2 \lambda_2)/(\lambda_3 + 3 \lambda_2)] - (Ln 2/Ln 3)$$
 (21)

$$a = (k \lambda_2) / [\Gamma(1 + k) (1 - 2^{-k})]$$
 (22)

$$u = \lambda_1 + (a/k) / [\Gamma(1+k) - 1]$$
 (23)

para la estimación de la función Gamma se utiliza la ecuación (Stedinger et al., 1993):

#### A1. Diagrama de momentos L



$$\Gamma(1+k) = 1 + \sum a_i k^i + \varepsilon$$
 (24)

la sumatoria es de i = 1 a 5.

$$a_1 = -0.5748646$$
  $a_2 = 0.9512363$   $a_3 = -0.6998588$   $a_4 = 0.4245549$   $a_5 = -0.1010678$   $|\epsilon| = 5 \cdot 10^{-5}$ 

### Prueba para seleccionar entre las distribuciones Gumbel y *GVE*

Cuando unos datos son obtenidos de una distribución Gumbel (k = 0), usando la ecuación 4 para estimar los MOL a utilizar en las ecuaciones 20 a 23, el estimador resultante del parámetro k tiene media cero y variancia (Stedinger *et al.*, 1993):

$$Var(k) = 0.5633/n$$
 (25)

Entonces se puede establecer una prueba poderosa, de la manera siguiente: cuando el valor absoluto de la estadística  $Z = k \sqrt{n/0.5633}$  excede a la desviación normal estándar (Zc = 1.645), se deduce que k es estadísticamente diferente de cero y por lo tanto se debe ajustar una función GVE.

#### Apéndice 2

### Descripción de las pruebas de homogeneidad utilizadas

#### Generalidades

Tomando en cuenta que se está trabajando con series de valores máximos anuales, lo lógico es suponer que están libres de persistencia, tendencia y ciclos, por ello se consideró necesario aplicar las pruebas relativas a estas componentes determinísticas. Si las pruebas específicas detectaron inconsistencia, se aplicó una prueba de aleatoriedad basada en la función de densidad espectral (Campos, 1993a); otro enfoque puede estar basado en el uso del correlograma (Yevjevich, 1972b; Ritter et al., 1997). De acuerdo a todos los resultados obtenidos se concluye sobre la homogeneidad de la serie que se analiza.

#### Prueba de persistencia

En términos generales, la magnitud de la correlación serial de orden o retraso unitario  $(r_1)$ , podrá ser más influenciada por la persistencia, la tendencia, la periodicidad o cualquier otra forma de no aleatoriedad, que los valores de  $r_k$  con k > 1 (WMO,1971). Lo anterior

permite detectar la no homogeneidad de una serie o registro histórico si su r<sub>1</sub> es estadísticamente diferente de cero. La ecuación general del coeficiente de correlación serial de orden k (r<sub>k</sub>) es la siguiente:

$$r_{1} = [\sum X_{i} \cdot X_{i+k} - (\sum X_{i} \cdot \sum X_{i+k})/(n-k)]/\{[\sum X_{i}^{2} - (\sum X_{i})^{2}/(n-k)]^{1/2} \}$$

$$[\sum (X_{i+k})^{2} - (\sum X_{i+k})^{2}/(n-k)]^{1/2}\}$$
(1)

en donde  $x_i$  y  $x_{i+k}$  son los elementos de la serie cuyo número es n; las sumatorias abarcan de i=1 a n-k. Si la distribución de frecuencias se aproxima a la normal o Gaussiana, el valor crítico de  $r_1$  está dado por (WMO, 1971):

$$(r_1)_c = (-1 \pm Z \sqrt{n-2})/(n-1)$$
 (2)

siendo, Z la desviación normal estándar de una cola al 95% de probabilidad, es decir, Z=1.645; si y sólo si,  $r_1$  es mayor que  $(r_1)$  se concluye que la serie es no aleatoria o inconsistente. Cuando ocurren valores negativos de  $r_1$ , se deduce que la serie presenta una severa oscilación, entonces es conveniente usar una prueba de dos colas, por lo cual Z=1.960 y se debe de adoptar el signo menos de la ecuación 2 (WMO, 1971; Linsley *et al.*, 1977).

#### Prueba de tendencia

La prueba de Kendall o de la correlación de rangos, es bastante efectiva para detectar esta inconsistencia si la tendencia principal es de tipo lineal o se aproxima a ésta. La prueba está basada en el número proporcional de subsecuentes observaciones las cuales exceden a un valor particular. El procedimiento consiste en determinar el número p, en todos los pares de observaciones:  $x_i$ ,  $x_j$ ; con i = 1 a n - 1 y j = i + 1 a n, en que  $x_i$  es mayor que  $x_i$ , después se calculan las estadísticas siguientes (Kottegoda, 1980):

$$\tau = \{4 \cdot p / [n(n-1)]\} - 1 \tag{3}$$

$$Var (\tau) = [2(2n + 5)/[9n(n - 1)]$$
 (4)

si el cociente entre  $\tau$  y la raíz cuadrada de Var ( $\tau$ ) está dentro de los límites de  $\pm$  1.960, la serie o registro histórico no presenta tendencia con un nivel de significancia del 5%, en una prueba de dos colas.

#### Prueba de Von Neumann

Esta es una prueba de no aleatoriedad contra componentes determinísticas no especificadas, está definida

por el cociente de la media de las diferencias sucesivas elevadas al cuadrado entre la varianza (WMO, 1971; Buishand, 1982), es decir:

$$V = [n \Sigma_1 (x_i - x_{i+1})^2] / \{(n-1)[\Sigma_2 x_i^2 - (1/n)(\Sigma_2 x_i)^2]\}$$
 (5)

la sumatoria 1 abarca de i=1 a n-1 y la sumatoria 2 de i=1 a n. La pérdida de aleatoriedad conduce a valores bajos de V, por ello tal cociente debe ser mayor que la magnitud crítica Vc para aceptar la homogeneidad de la serie.

$$Vc = (2n \pm 2 Z \sqrt{n-2})/(n-1)$$
 (6)

Cuando el cociente de von Neumann es aplicado a series cortas (n < 50), se recomienda utilizar la tabla de valores críticos exactos dada por Hart (1942).

#### Función de densidad espectral

Un proceso estocástico es un sistema que se desarrolla en el tiempo mientras que pasa por fluctuaciones al azar; se puede describir definiendo una variable aleatoria [X(t)] que mide, en el instante t, el estado del sistema. El correlograma es una de las técnicas disponibles para investigar las propiedades estadísticas de un proceso estocástico en el dominio del tiempo, de manera que si X(t) y  $X(t+\tau)$  no pueden ser consideradas independientes, se está definiendo la memoria del proceso.

Por otra parte, las periodicidades son detectadas mejor analizando el proceso en el dominio de la frecuencia, de manera que la densidad espectral [S(•)] es la cantidad de variancia por intervalo de frecuencia. Entonces para una serie completamente aleatoria de números no correlacionados, la función de densidad espectral [fde o S(•)] es una constante y se denomina ruido blanco, lo cual indica que ningún intervalo de frecuencia contiene más variancia que cualquier otro.

La **fde** de una muestra  $[S'(\cdot)]$  puede ser calculada con base en el coeficiente de correlación serial de retraso k, por medio de la ecuación (Hann, 1977; Campos, 1993a):

$$S'(f) = \Delta t \left[ 1 + 2 \sum_{k} r_k \cos(2\pi k f \Delta t) + r_m \cos(2\pi m f \Delta t) \right]$$
 (7)

en la cual, la sumatoria varía de k = 1 a k = m-1, siendo m el número máximo de retrasos (k), el cual se recomienda que fluctúe del 10 al 25% del número total n de datos. La frecuencia f está dada por:

$$f = k f_N / m \tag{8}$$

con  $f_N$  igual a 0.5  $\Delta t$ . Se recomienda que los valores de S'(f) calculados con la ecuación 7 sean *suavizados* de manera que las estimaciones finales de S(f) estarán dadas por (WMO, 1971):

$$S(0) = [S'(0) + S'(1)]/2$$
(9)

$$S(m) = [S'(m-1) + S'(m)]/2$$
 (10)

$$S(k) = [S'(k-1) + 2 \cdot S(k) + S'(k+1)]/4$$
 (11)

en donde k varía de 1 a m-1.

Cuando  $r_1$  no difiere estadísticamente de cero, es decir, no existe persistencia; o bien aunque  $r_1 \neq 0$ , no se cumple la siguiente relación exponencial:  $r_2 = r_1^2$ ;  $r_3 = r_1^3$ ; etc. la hipótesis de contraste de **fde** es un ruido blanco, consistente en una línea recta ubicada en el valor promedio (SP) de las m+1 estimaciones espectrales S'(f) no suavizadas, sus límites de confianza se obtienen multiplicando por SP los valores de  $\chi^2/v$  con v grados de libertad definidos como (2n - m/2)/m [WMO, 1971; Campos, 1993a].

#### Resultados de las pruebas de homogeneidad

Con base en una versión simplificada del programa TEST (Campos,1992b), se aplicaron las primeras tres pruebas estadísticas relativas a la persistencia, tendencia y presencia de componentes determinísticas, a las 105 estaciones pluviométricas utilizadas. Cuando en alguna de ellas se detectó alguna inconsistencia, se aplicó en esta estación la prueba del ruido blanco a la **fde**, con base en el programa ANESP (Campos, 1993a).

Las estaciones pluviométricas que mostraron inconsistencias, se tienen en el cuadro 3, así como los resultados de las pruebas descritas y la conclusión sobre su homogeneidad, con un criterio basado en los resultados de las pruebas de von Neumann y de la **fde**.

### Impacto de la no homogeneidad en los resultados del análisis estadístico-probabilístico

En el cuadro 1 se tienen concentradas las estimaciones de la precipitación máxima probable en 24 horas, obtenidas con el análisis estadístico de la precipitación diaria máxima anual, con base en el método de D.M. Hershfield; según parece, los resultados que se obtuvieron con las series detectadas como inhomogéneas no muestran incoherencia con el resto. Por lo anterior, se puede concluir que el método de Hersh-

field no es sensible a la inconsistencia detectada debida a la persistencia y/o tendencia.

Por otra parte, en el cuadro 2 se han concentrado los resultados de las estimaciones de precipitación en 24 horas y periodo de retorno 10,000 años, realizadas de acuerdo al enfoque probabilístico. También en este caso, según se deduce, los resultados de los ajustes en las estaciones inconsistentes no presentan incoherencia con el resto, concluyéndose que la persistencia y/o tendencia detectada en las series inhomogéneas no afectan al análisis probabilístico.

#### Agradecimientos

Al ingeniero José Eduardo Martínez Cruz quien recopiló y actualizó hasta 1993 y 1994 los datos de precipitaciones diarias máximas anuales, además formó el archivo DAPMP; como parte de su trabajo recepcional para titularse de ingeniero civil.

Al personal de la Subgerencia de Administración del Agua de la Gerencia Estatal de la CNA por facilidades otorgadas para actualizar la información pluviométrica utilizada.

Al señor José Inés Tobías García de la Gerencia Regional Noreste de la CNA, por la elaboración de los mapas de curvas de isovalores (ilustraciones 2, 4 y 5).

Al señor Miguel Ángel Carrillo Gutiérrez de la Gerencia Regional Noreste de la CNA, por haber realizado los dibujos presentados en este trabajo (ilustraciones 1 a 5).

> Recibido: noviembre, 1996 Aprobado: septiembre, 1997

#### Referencias

Abramowitz, M. & I. A. Stegun. 1972. Handbook of mathematical functions. Chapter 6: Gamma function and related functions, pp. 253-296 y Chapter 26: Probability functions, pp. 927-995. New York, U.S.A.:íDover Publications, Inc.

Acosta R., J. L. 1986. Estimación de parámetros de la distribución general de valores extremos de probabilidad a través de máxima verosimilitud. 9° Congreso Nacional de Hidráulica, Tomo III, subtema IV, páginas 57-67. Querétaro, Qro.

Benson, M. A. 1962. Plotting positions and economics of engineering planning. *ASCE J. Hydraulics Division* 88(HY6): 57-71.

Benson, M. A. 1968. Uniform flood frequency estimating methods for federal agencies. *Water Resources Research* 4(5):891-908.

Bobée, B. 1975. The log Pearson type 3 distribution and its application in hydrology. *Water Resources Research* 11(5):681-689.

Buishand, T. A. 1982. Some methods for testing the homogeneity of rainfall records. *J. Hydrology* 58:11-27.

Campos A., D. F. 1987. Construcción de tormentas hipotéticas. Revista Ingeniería Hidráulica en México 2(2):9-22.

- Campos A., D.F. 1988. Función de distribución de probabilidades gamma mixta: soluciones y aplicaciones. 10° Congreso Nacional de Hidráulica (AMH), Tomo II, Subtema 6, páginas 318-322. 18 al 21 de octubre. Morelia, Mich., Méx.
- Campos A., D. F. 1991a. Algoritmo computacional para la estimación de la PMP. *Il Congreso Nacional de Informática (AMII)*, disquet No. 2. 15 al 17 de mayo. Puebla, Pue., Méx.
- Campos A., D. F. 1991b. Programa en Basic para el ajuste de la función de distribución de probabilidades GVE. *II Congreso Nacional de Informática (AMII)*, disquet No. 2. 15 al 17 de mayo. Puebla, Puebla, Méx.
- Campos A., D. F. 1992a. *Procesos de ciclo hidrológico*. Capítulo 4, tema 10: Precipitación máxima probable, páginas 4-74-100. San Luis Potosí, México. Editorial Universitaria Potosina. 2a. reimpresión.
- Campos A., D. F. 1992b. Estudios de homogeneidad en las estaciones pluviométricas del altiplano potosino. San Luis Potosí, México: Informe de proyecto de investigación. CIEP de la Facultad de Ingeniería de la UASLP.
- Campos A., D. F. 1993a. Análisis espectral: Teoría y aplicaciones. San Luis Potosí, México: Informe de proyecto de investigación. CIEP de la Facultad de Ingeniería de la UASI P
- Campos A., D. F. 1993b. Análisis agroclimático preliminar del estado de San Luis Potosí. *Agrociencia serie Agua-Suelo-Clima* 4(1):19-44. Montecillo, México.
- Campos A., D.F. 1995. Ajuste de la Distribución de Probabilidades Wakeby por medio de Optimización. *Il Simposium Internacional de Computación*. Tema II: Algoritmos, ponencia 2. Centro Nacional de Cálculo del I.P.N. 8 al 10 de Noviembre de 1995. México, D.F.
- Campos A., D. F. 1996. Análisis estadístico-probabilístico de la precipitación diaria máxima anual del estado de San Luis Potosí. San Luis Potosí, México. Informe de proyecto de investigación. CIEP de la Facultad de Ingeniería de la UASLP.
- Clarke, R.T. 1973. *Mathematical models in hydrology*. Chapter 5: The estimation of floods with given return period, pp. 130-146. Irrigation and Drainage Paper No. 19. Rome, Italy. FAO.
- Cluckie, I. D. y M. L. Pessoa. 1990. Dam safety: An evaluation of some procedures for design flood estimation. *Hydrological Science J.*35(5):547-569.
- Collado, J. y V. Toledo. 1992. Localización óptima de estaciones climatológicas y observatorios en la República Mexicana. Proyecto No. CA9201. Jiutepec, Morelos, México: Instituto Mexicano de Tecnología del Agua. (162 pp. + ix,10 planos).
- Chander, S., S. K. Spolia y A. Kumar. 1978. Flood frequency analysis by power transformation. *ASCE J. Hydraulics Division* 104(HY11):1495-1504.
- Chow, V. T. 1964. Statistical and probability analysis of hydrologic data. Part I: Frequency analysis. En: Chow, Ven Te

- (Editor-in-chief). Handbook of applied hydrology. pp. 8-1 to 8-42. New York, U.S.A.: McGraw-Hill Book Co.
- Garros-Berthet, H. 1994. Station-year approach: Tool for estimation of design floods. *J. Water Resources Planning and Management* 120(2):135-160.
- Gerencia Regional Noreste (GRN). 1994. Efectos del Huracán Gert en la cuenca baja del Río Pánuco. (Hidalgo, San Luis Potosí, Tamaulipas y Veracruz. 20 de septiembre al 15 de octubre de 1993). San Luis Potosí, S.L.P., México: GRN de la Comisión Nacional del Agua.
- Gilman, C. S. 1964. Rainfall. Section 9, pp. 9-1 a 9-68. En: Chow, Ven Te (Editor-in-chief). *iHandbook of applied hydrology*. New York, U.S.A.: McGraw-Hill Book Co.
- Gingras, D. y K. Adamowski. 1992. Coupling of nonparametric frequency and L-moment analyses for mixed distributions identification. *Water Resources Bulletin* 28(2): 263-272.
- Gingras, D. y K. Adamowski. 1994. Performance of L-moment and nonparametric flood frequency analysis. *Canadian J. Civil Engineering* 21:856-862.
- Greis, N. P. y E. F. Wood. 1981. Regional flood frequency estimation and network design. *Water Resources Research* 17(4):1167-1177.
- Hann, C.T. 1977. Statistical Methods in Hydrology. Chapter 14: Analysis of hydrologic time series (spectral analysis), pp. 275-288. The Iowa State University Press. Ames, Iowa, U.S.A.
- Hart, B.I. 1942. Significance Levels for the Ratio of the Mean Square Successive Difference to the Variance. *Annals Math. Statistics*, Vol. 13, No. 4, pp. 445-447.
- Harper, G. A., T. F. O'Hara y D. I. Morris. 1994. A new method for estimating extreme rainfall probabilities. *Hydro Review*, pp. 42-48. February.
- Hershfield, D. M. 1962. Extreme rainfall relationships. *ASCE J. Hydraulics Division*, 88(HY6):73-92.
- Hershfield, D. M. 1963. Estimating the probable maximum precipitation. *ASCE J. Hydraulics Division*, 128 (Part I): 534-556 (with discussions).
- Hershfield, D. M. 1965. Method for estimating probable maximum rainfall. *J. American Water Works Association* 57:965-972.
- Jenkinson, A. F. 1969. Statistics of extremes. Chapter 5, pp. 183-227. En Technical Note No. 98. WMO-No. 233. TP.126: *Estimation of maximum floods*. Geneva, Switzerland. World Meteorological Organization.
- Jowitt, P.W. 1979. The extreme-value type-1 distribution and the principle of maximum entropy. *J. Hydrology* 42: 23-38.
- Kirby, W. 1974. Algebraic boundedness of sample statistics. *Water Resources Research* 10(2):220-222.
- Kirpich, P. Z. 1969. Hydrology. Section 1, pp. 1-1 to 1-46. En: C. V. Davis (Editor-in-chief) y K. E. Sorensen (Co-editor). Handbook of applied hydraulics. New York, U.S.A.: McGraw-Hill Book Co.
- Kite, G. W. 1977. Frequency and risk analyses in hydrology. Chapter 8: Type I extrernal distribution, pp. 87-104; Chap-

- ter 10: Log-Pearson type III distribution, pp. 123-128 & Chapter 12: Comparison of frequency distributions, pp. 156-168. Fort Collins, Colorado, U.S.A. Water Resources Publications.
- Kottegoda, N.T. 1980. *Stochastic Water Respurces Technology.* Chapter 2: Analysis of hydrologic time series, pp. 20-66. The MacMillan Press, Ltd. London, England.
- Linsley, R. K., M. A. Kohler y J. L. H. Paulhus. 1977. *Hidrología para ingenieros*. Capítulo 3: Precipitación, páginas 45-88 y Capítulo 11: Probabilidad en hidrología: Una base para diseño, pág. 281-310. Segunda edición. Bogotá, Colombia: Editorial McGraw-Hill Latinoamericana, S. A.
- Martínez C., J. E. 1996. Aplicación del método estadístico de David M. Hershfield en el estado de San Luis Potosí, para estimar la precipitación máxima probable. Trabajo recepcional presentado para titulación de Ingeniero Civil.íSan Luis Potosí, S.L.P., México: Facultad de Ingeniería de la UASLP.
- Martínez A., H. R. y J. A. Raynal V. 1988. Identificación de distribuciones de valores extremos con registros históricos. 10° Congreso Nacional de Hidráulica, Tomo II, subtema 6, páginas 356-365. Morelia, Michoacán, México.
- Miller, J. F. 1972. Probable maximum precipitation—The concept, current procedures and outlook. *Proceedings of the Second International Symposium in Hydrology*, Session I: Precipitation and Precipitation Probability, pp. 50-61. Fort Collins, Colorado, U.S.A.
- Natural Environment Research Council (NERC). 1975. Flood studies report. Vol. I, Chapter 1: Statistics for flood hydrology, theme 1.3: Estimation and inference. London, England.
- Otten, A. y M. A. J. Van Montfort. 1978. The power of two test on the type of distributions of extremes. *J Hydrology* 37:195-199.
- Paulhus, J. L. H. y C. S. Gilman. 1953. Evaluation of probable maximum precipitation. *Transactions of the American Geophysical Union* 34(5):701-708.
- Poole, L., M. Borchers y D. M. Castlewitz. 1983. *Algunos pro*gramas de uso común en Basic. Programa: Regresión de orden N, pág. 155-157. México, D.F. Osborne/McGraw-Hill.
- Raynal V., J.A. 1984. Aplicación del método de momentos de probabilidad pesada a la estimación de los parámetros de la distribución general de valores extremos. XI Congreso Latinoamericano de Hidráulica. Buenos Aires, Argentina.
- Ritter O., W., E. Buendía C. y R. Patiño, M. 1997. Un modelo estadístico lineal para la determinación de la homogeneidad predictiva de la Iluvia. *Revista de Ingeniería*, 67(1):65-70. UNAM (México).
- Secretaría de Agricultura y Recursos Hidráulicos (SARH). 1980. Boletín climatológico No. 3. Región Hidrológica No. 37 (El Salado). México, D.F., México: Subsecretaría de Planeación, Dirección Gral. de Estudios. Subdirección de Hidrología.

- Secretaría de Agricultura y Recursos Hidráulicos (SARH). 1982. *Boletín climatológico No. 5.* Región Hidrológica No. 26 (El Pánuco). Tomos I y II. México, D.F., México: Subsecretaría de Planeación, Dirección Gral. de Estudios. Subdirección de Hidrología.
- Secretaría de Recursos Hidráulicos (SRH). 1976. Boletín de tormentas máximas observadas y probables en México en 24 horas (hasta 1974). México, D. F., México: Subsecretaría de Planeación, Dirección Gral. de Estudios. Subdirección de Hidrología.
- Sevruk, B. & Geiger, H. 1981. Selection of distribution types for extremes of precipitation. Operational Hydrology Report No. 15. WMO-No. 560. Geneva, Switzerland. World Meteorological Organization.
- Smith, J. A. 1993. Chapter 3, Precipitation, pp. 3.1-3.47. En: David R. Maidment (Editor-in-chief). *Handbook of hydrology*. New York, U.S.A. McGraw-Hill, Inc.
- Stedinger, J. R., R. M. Vogel y E. Foufoula-Georgiou. 1993. Chapter 18, Frequency analysis of extreme events pp. 18.1-18.66. En: David R. Maidment (Editor-in-chief). Handbook of applied hydrology. New York, U.S.A. McGraw-Hill Book Co.
- Van Montfort, M.A.J. 1970. On testing that the distribution of extremes is of type I when type II is the alternative. *J. Hydrology* 11:421-427.
- Vogel, R. M. y N. M. Fennessey. 1993. L-moment diagrams should replace product moment diagrams. Water Resources Research 29(6):1745-1752.
- Water Resources Council (WRC). 1977. *Guidelines for determining flood flow frequency*. Revised edition. Washington, D.C., U.S.A.
- Weiss, L. L. 1964. Ratio of true to fixed-interval maximum rainfall. *ASCE J. Hydraulics Division* 90(HY1):77-82.
- World Meteorological Organization (WMO). 1971. Climatic change. Annex I: The power spectrum and general principles of its application to the evaluation of non-randomness in climatological series & Annex III: Standard test of significance to be recommended in routine analysis of climatic fluctuations. Technical Note No. 79, WMO-No. 195. TP. 100. Geneva, Switzerland: Secretariat of the WMO. Reprinted.
- World Meteorological Organization (WMO). 1973. *Manual for estimation of probable maximum precipitation*. Chapter 1: Introduction, pp.1-5 & Chapter 4: Statistical estimates, pp. 95-107. Operational Hydrology Report No. 1. WMO-No. 332. Geneva, Switzerland: Secretariat of the WMO.
- Yevjevich, V. 1972a. *Probability and statistics in hydrology*. Chapter 6: Parameters and order-statistics as descriptors of distributions, pp. 99-117. Fort Collins, Colorado, U.S.A.: Water Resources Publications.
- Yevjevich, V. 1972b. Stochastic processes in hydrology. Chapter II: Autocorrelation and lag cross correlation, pp. 32-67. Fort Collins, Colorado, U.S.A.: Water Resources Publications.

#### **Abstract**

Campos-Aranda D.F. "Statistical estimate of PMP in San Luis Potosi, México". Hydraulic Engineering in Mexico (in Spanish) Vol. XIII. Num. 3, pages 45-66 September-December, 1998.

Initially the importance of probable maximum precipitation (PMP) as support for the hydrological estimation of probable maximum flood is emphasized, its concept is described and its estimation methods are mentioned too. Then the pluviometric information that was used in this work is detailed. After the fundamental characteristics of the statistic method by David M. Hershfield for PMP estimation are mentioned, as well as of the probabilistic approach or prediction associated to return period of 10 000 years (P<sub>tt</sub>). The L moment technique to fit the parameters in Gumbel and Generalized Extreme Value distributions is described in detail. In the probabilistic approach the power transformation of data and the Log-Pearson type III distribution are applied. Later the results are contrasted and analized, inside the three geographical regions of the San Luis Potosí state: plateau, mild zone and huasteca. Three state maps are presented for: maximum observed daily precipitation,  $P_{\pi}$  and PMP. Lastly, several conclusions are formulated about the L moment technique, the contrast between the actual map and the made in this work, both for the same P<sub>1</sub>, and with respect to the PMP proposal map.

Key words: PMP, return period, isohyet maps.

#### Dirección institucional del autor:

Daniel Francisco Campos Aranda

Facultad de Ingeniería, Universidad Autónoma de San Luis Potosí Dr. Manuel Nava No. 8, Zona Universitaria CP. 78290, San Luis Potosí, SLP

Teléfono: (48) 17 33 81

Email: dcampos@deimos.tc.uaslp.mx

Nota: Los programas de cómputo citados en este artículo pueden obtenerse mediante una solicitud dirigida al autor